

**UNIVERSIDAD NACIONAL
AUTONOMA DE MEXICO**
FACULTAD DE CIENCIAS
DEPARTAMENTO DE BIOLOGIA

MORFOLOGIA DEL POLEN DE NYCTAGINACEAS

T E S I S que para optar
por el título
de biólogo
presenta:

Adela Margarita Reyes Salas
México, D.F. 1980



UNAM – Dirección General de Bibliotecas

Tesis Digitales
Restricciones de uso

DERECHOS RESERVADOS ©
PROHIBIDA SU REPRODUCCIÓN TOTAL O PARCIAL

Todo el material contenido en esta tesis está protegido por la Ley Federal del Derecho de Autor (LFDA) de los Estados Unidos Mexicanos (Méjico).

El uso de imágenes, fragmentos de videos, y demás material que sea objeto de protección de los derechos de autor, será exclusivamente para fines educativos e informativos y deberá citar la fuente donde la obtuvo mencionando el autor o autores. Cualquier uso distinto como el lucro, reproducción, edición o modificación, será perseguido y sancionado por el respectivo titular de los Derechos de Autor.

TESIS CON FALLA DE ORIGEN

**MORFOLOGIA DEL POLEN DE NYCTAGINACEAE
DE MEXICO**

CÓNTENIDO

	PAG.
-Resumen	1
-Objetivos	2
-Introducción	3
-Trabajos previos	7
-Material y Método	9
-Cuadro comparativo de características morfológicas palinológicas	14
-Clave palinológica para los especies estudiadas	16
-Descripciones palinológicas	18
-Discusión	57
-Esquematización de las posibles relaciones filogenéticas entre los grupos estudiados de Nyctaginaceae de acuerdo a bases palinológicas	63
-Bibliografía citada	64
-Láminas	65

RESUMEN :

Este trabajo abarca el estudio y descripción de la morfología de los granos de polen de 39 especies comprendidas en 20 géneros de la familia Nyctaginaceae.

La familia Nyctaginaceae está comprendida dentro del orden Centrospermales, consta de alrededor de 30 géneros y de 250 a 300 especies.

Respecto a la metodología, se efectúan acetólisis, observaciones con microscopio de luz y con microscopio electrónico de barrido, fotomicrografías, descripciones, discusión y se hace una posible apreciación filogenética entre las especies de acuerdo a los resultados del análisis palinológico.

La morfología del polen de ésta familia es muy variada. En cuanto a las aberturas, pueden ser brevitricolpados, tricolpados, tetracolpados, pericolpados y periporados. La exina es también variable, en general se caracteriza porque es muy gruesa, llegando a medir de 14 a 16 micras; siendo la nexina tan o más gruesa que la sexina. La estructura puede ser tectada, tectada-porforada y euroticulada. La ornamentación puede ser lisa, supraequinada e infratectada. La forma puede ser esferoidal, subesferoidal oblada o prolada. Con respecto al tamaño se presenta una gran variación que va de 22-23 micras en los granos más pequeños, hasta alrededor de 300 micras en los más grandes.

OBJETIVOS.

- I.- Proporcionar información palinológica que apoya a la sistemática de la familia.
- II.- Ayudar al esclarecimiento de las relaciones filogenéticas de las especies examinadas.
- III.- Con respecto a las especies de Nyctaginaceae del Edo. de Veracruz, ayudar a la formación del Catálogo Palinológico de la Flora de Veracruz para contribuir al conocimiento de la Flora de este-Estado.
- IV.- Ampliar las colecciones de polen reciente en las palinotecas del MEXU, XAL y del Instituto de Geología de la UNAM, lo cual proporcionará información para facilitar el desarrollo en las diferentes aplicaciones de la palinología (geología, micropalinología, arqueología, antropología, medicina, etc.)

INTRODUCCION :

La Familia Nyctaginaceae está constituida por hierbas, arbustos y árboles, es una familia compuesta de cerca de 30 - géneros y 250 a 300 especies, encontradas en regiones tropicales y subtropicales, principalmente de América, (Lawrence, 1964). En México hay aproximadamente 20 géneros que comprenden de 75 a 100 especies, su distribución es en todo el país.

La Familia Nyctaginaceae ha sido clasificada en diferentes órdenes de acuerdo a los criterios de distintos autores. - Cronquist (1968) y Takhtajan (1969) la colocaron dentro del orden Caryophyllales. Thorne (1968) la clasifica en el orden Chenopodiales. Engler (cit. en Radford, 1974), como Centrospermae. Hutchinson (cit. en Radford, 1974) la coloca en el orden Thymelaeales, separándola de otras familias del orden Centrospermales y Bentham o Hooker (cit. en Radford, 1974) la clasifica dentro del orden Caryophyllales.

En éste trabajo, se considera a la familia Nyctaginaceae como parte del orden Centrospermae, de acuerdo con la clasificación de Engler (cit. en Radford, 1974).

Heimuli (1934), reconoce a la familia Nyctaginaceae

compuesta por cinco tribus: *Mirabileae*, *Pisoniaceae*, *Boldoaceae*, *Collignonaceae* y *Leucasteraceae*. La tribu *Mirabileae*, la divide en cuatro subtribus: *Boerhaeaviinae* (contiene 13 géneros), *Abroniinae*, *Bougainvilleinae* y *Phaeoptilinae* (éstos últimos son monogénericos). La tribu *Pisoniaceae* consta de seis géneros, *Collignonaceae* con un género, *Boldoaceae* con tres géneros y *Leucasteraceae* con cuatro géneros. La mayoría de las especies están comprendidas en la tribu *Mirabileae*, principalmente en la subtribu *Boerhaeaviinae* en donde se encuen-tran los géneros más grandes de la familia, como ejemplo está *Mirabilis* (60 especies) y en el subtribu *Abroniinae*, *Abronia* (33 - especies).

Las *Nyctaginaceae* son árboles, arbustos y hierbas erguidas o rastropas, anuales o perennes, cuando leñosas pre-sentan engrosamiento anormal secundario del tallo; tricomas comun-mente multicelulares, frecuentemente glandulares; hojas opuestas-⁺ o alternas comunmente pectioladas, si estípulas, el margen entero-o sinuoso; flores bisexuales o unisexuales (entonces dioicas), dispuestas en inflorescencias de diferentes tipos, con bracteas cap-aciolizadas distintas o connate, formando un involucro, encerrando una o más flores, el perianto en una serie, sinsáculo comunente-actinomorfo, rara vez cigomorfo; los estambres de 1-30, filamen-

tos libres o connatos en la base; los anteras con dos tecas delgadas longitudinalmente; ovario súpero, unilocular, uniovulado; estilo corto o largo; estigma capitado o lineal peltado, peniculado; fruto un antocarpo cubierto por la base del perianto persistente y endurecida, estriado, angulado o alado; semilla con embrión curvado o recto; todos los tejidos de las plantas con reflejos (Fay 1980).

De acuerdo con las cinco tribus reconocidas por Neimark (1934) *Mirabilieae*, *Baldoeae*, *Pisonieae* y *Colignoneae* presentan ovarios glabros y estambres más o menos connatos basalmente, *Mirabilieae* con embrión recto y cotiledones grandes, *Pisonieae*, *Baldoeae* y *Colignoneae* con embrión curvado y pequeños cotiledones · hojas opuestas en *Colignoneae* y alternas en *Baldoeae*. La quinta - Tribu *Leucastereae* con un ovario pubescente y filamentos distintos.

Económicamente las Nyctaginaceae tienen importancia ornamental, muy pocas con uso medicinal Stanley y Steyermark (1946).

Este trabajo comprende el estudio y descripción de la morfología de los granos de polen de la familia Nyctaginaceae, de ésta manera, se podrá obtener información que apoye a la

sistemática de la familia y ayude el establecimiento de las relaciones filogenéticas de las especies examinadas.

Las especies estudiadas en éste trabajo, están comprendidas en 20 géneros de Nyctaginaceae encontradas en México en diferentes Estados de la República, ésto permitirá tener un conocimiento general desde el punto de vista palinológico de la familia. En cuanto al estudio del polen de las especies que se encuentran en el Edo. de Veracruz, ayudará a la formación del Catálogo Palinológico de la Flora de Veracruz; éste catálogo, tiene como fin proporcionar información para complementar los trabajos taxonómicos para la sistemática de las plantas vasculares que se encuentran en Veracruz. De ésta forma, se han publicado varios fascículos sobre taxonomía de las Familias de la Flora de Veracruz, con sus correspondientes contribuciones palinológicas. El fascículo sobre taxonomía de Nyctaginaceae de Veracruz, fué elaborado -- por Fay (1980) (próxima aparición). La palinología de Nyctaginaceae, complementará los estudios taxonómicos hechos por Fay.

TRABAJOS PREVIOS :

La morfología del polen de un gran número de especies ha sido estudiada por varias personas, la mayor parte de ellas han usado microscopio de luz en sus observaciones, entre éstas están los trabajos de Skottberg (1936), estudio a Gordonia, Rockia y Neimarkia; Salgado-Labourian et al.(1969), describen a Neesia theifera; Erdtman(1952), describe muy brevemente a 23 especies; Nair(1961), estudio dos especies de Bougainvillea con 17 posibles variedades; Huang(1972) describe a Pisonia aculeata, Bougainvillea spectabilis y Borophavia diffusa; Vishnu, Swarup y Brijendra (1964), estudian cuatro especies de Bougainvillea, B. peruviana, B. buttiana, B. glabra y B. spectabilis; Sharma (1963), describe cuatro especies del género Borophavia, B. diffusa, B. amete, B. repanda y B. caribaea, y Mirabilis jalapa; Heuser (1971) describe a Mirabilis jalapa, Allionia incarnata, Borophavia discolor y Oxybaphus elegans; Markgraf y D'Antoni (1978), describen cinco especies localizadas en Argentina, de las cuales en éste trabajo estudiamos a Allionia incarnata; Nair y Khan (1965) estudian ocho especies, de las que en éste trabajo estudiamos a -

Baehavia diffusa, B. erecta y Mirabilis jalapa; Barth y Barthélémy (1972) estudian diez especies de las cuales aquí estudiaremos a ----
Baehavia coccinea, Mirabilis jalapa y Pisonia aculeata. Utilizando TEM, Roland (1969), estudió a Pisonia aculeata. Son de gran importancia los estudios sobre polen de Nyctaginaceas, realizados por Nowicke y Skvarla (1977); Skvarla y Nowicke (1976); Nowicke (1970, 1975); Nowicke y Luikart (1971), en éstos trabajos utilizan principalmente MEB, describen 27 géneros con 106 especies, de los cuales en éste trabajo se han estudiado a los siguientes 18 : Abroma turbinata, Acleisanthes longiflora, Allionia incarnata, Baehavia caribaea, B. erecta, Commicarpus brandegeei, Cryptocarpus periferum, Cynotheramia synanthrochiloides, Mirabilis jalapa, M. laevis, M. longiflora, M. wrightiana, Mesa psychotrichoides, Nyctaginea capitata, Okenia hippocastana, Pisonia aculeata, Salpianthus aranarius, Salpianthus macrodontus.

MATERIAL Y METODO.

Se estudió el polen de 39 especies comprendidas en 20 géneros de *Nyctaginaceae*, el material se obtuvo de los herbarios XAL (Herbario del Instituto Nacional de Investigaciones sobre recursos Bióticos) y MEXU (Herbario Nacional del Instituto de Biología de la UNAM). Se procuró tomar polen de tres ejemplares de la misma especie para obtener mayor representatividad de cada especie. De las especies estudiadas, 15 son del Edo. de Veracruz y se encuentran comprendidas en 10 géneros, las demás especies estudiadas están comprendidas en los 10 géneros restantes y en su mayoría son del norte del país, de los Estados de Baja California, Chihuahua, Coahuila, Nuevo León y Sonora, otras son de los Estados de Chiapas, México, Guerrero, Hidalgo Puebla y Querétaro. También se estudiaron dos ejemplares de especies del Perú, que no han sido colectadas en México, pero que fueron colectadas en el Herbario XAL.

La técnica de acetólisis utilizada, está basada en Erdtman (1943) con modificaciones propuestas por Martínez-Hernández-

dez (comunicación personal). Esta técnica consiste básicamente

a) Lavar el material polínico con mezcla acetólítica (9 partes de anhídrido acético y 1 parte de ácido sulfúrico), en baño maría entre 70° y 80° C., durante 5 minutos, agitando. Centrifugar y decantar.

b) Lavar dos veces con ácido acético glacial. Centrifugar y decantar.

c) Lavar con agua, centrifugar y decantar.

d) Montar en gelatina glicerinada.

Esta técnica se modificó continuamente según las características de los diferentes tipos morfológicos, debido a que el polen reaccionaba fuertemente con la acetólisis, quedando los granos "quemados" (muy negros), haciendo imposible la observación al microscopio. Probablemente ésto se deba a la exina muy gruesa que es característica de las Nyctaginaceae. Salgado-Labourian et al. (1969) perturbaron a las especies de Nyctaginaceae que estudiaron como muy sensibles ante la acetólisis. Estas modificaciones fueron, para los numerosos Acleisanthes, Allionia, Bourreria, Commicarpus, Cyphomandra, Mirabilis, Nyctaginea, Okenia, Oxibaphus y Selinocarpus, aumentando la concentración de la mezcla acetólítica a 9.7:0.3 partes,

ba marfa, a 35°C , durante 15 segundos.Para los géneros Abrusia,--
Bougainvillas, Mang, la concentración de la mezcla acetolítica uti-
lizada fué también de 9.7:0.3 partes, pero, durante 25 segundos, -
también a 35°C . Y para los géneros Coleosmia, Brasilagia, Risonia-
lla, Salpianthus y Terrubis, la mezcla acetolítica se utilizó a u-
na concentración de 9.5:0.5 partes en baño maría a 40°C durante 90
segundos.

En el estudio con microscopio de luz, se midieron -
25 granos de cada especie a excepción de algunas en las que se te-
nía muy poco material (en éstas las mediciones varían de 15 a 20 -
granos), ésto es indicado junto a las descripciones de las espes-
cies. El tamaño de los granos se midió sin tomar en cuenta el tam-
ño de los espinas. En los granos periporados, la distancia interpo-
ral se mide de centro a centro de dos poros, localizados en la ---
parte central del grano, ésto, para evitar errores por la esferici-
dad de los granos. El número de poros se mide de acuerdo a lo pro-
puesto por McAndrews y Swanson (1967). A los resultados de las me-
diciones de cada taxa, se les aplicaron los siguientes elementos -
estadísticos: media, rango, desviación típica y coeficiente de va-

riación, lo que permitirá observar la variabilidad en las estructuras medidas y mejorar la calidad de las observaciones.

La terminología empleada en la descripción de los granos de polen es la de Erdtman (1952), Fanfri e Ivanson (1966), tomando en cuenta las sugerencias de Bratton (1970) , Praglowski (1971,1975) y Praglowski y Punt(1973).

Para las especies estudiadas se utilizó el microscopio de luz en todos, para quince de ellas se utilizó también el microscopio electrónico de barrido (MEB), lo que se indica junto a las descripciones. Para la observación en microscopio de luz, las preparaciones fueron montadas en gelatina glicorinada, en algunos casos, se tñeron con safranina al 0.5% (Pionia y Salpianthus). Para fotografiar se empleó un fotomicroscopio Zeiss II, con película Panatomic X, se utilizaron reveladores Dektol y D-19 y fueron impresas en papel Kodabromide F2 a F5. Para la observación en MEB, los granos de polen se utilizaron sin tratamiento previo. El microscopio utilizado fué de la marca JOEL modelo GSMT-20. Para fotografiar, se empleó película polaroid 655.

Las descripciones de las especies se realizaron en orden alfabético. Las preparaciones se encuentran depositadas en las palenotecas de XAL, MEXU e Instituto de Geología de la UNAM.

**COMPARACION DE ALGUNAS CARACTERISTICAS MORFOLOGICAS DE LOS GRANOS DE POLEN DE 4 TRIBUS
Y 3 SUBTRIBUS DE NYCTAGINACEAE**

Especie	Tribu	Subtribu	Abertura	Tamaño (micras)	Exina
<i>Cryptocarpus pyriformis</i>	Boldoeeae		Tricolpado	25	Tectada
<i>Grajeussia ferruginea</i>	Boldoeeae		Tricolpado	37 x 38	Tectada
<i>Salpinthus arenarius</i>	Boldoeeae		Tricolpado	51 x 52	Tectada
<i>Salpinthus macrodonta</i>	Boldoeeae		Tricolpado	33 x 51	Tectada
<i>Terrubia linearibracteata</i>	Boldoeeae		Tricolpado	33 x 34	Tectada
<i>Neea psychotrioides</i>	Pisoniaceae		Tri-tetracolpado	46 x 48	Semitectada
<i>Neea tenuis</i>	Pisoniaceae		Tricolpado	41 x 43	Semitectada
<i>Pisonia aculeata</i>	Pisoniaceae		Tricolpado	38 x 37	Tectada-perforada
<i>Pisonia capitata</i>	Pisoniaceae		Tri-tetracolpado	29 x 31	Tectada-(perforada?)
<i>Pisoniella arboreaescens</i>	Pisoniaceae		Pericolpado	49	Tectada
<i>Colignonia rufovillosea</i>	Colignoneae		Periporado	29	Tectada-pailada
<i>Abronia gracilis subsp. pt.</i>	Mirabiliaeae	Abroniinae	Pericolpado	43	Semitectada
<i>Abronia turbinata</i>	Mirabiliaeae	Abroniinae	Tri-tetracolpado	38	Semitectada
<i>Abronia villosa var. surita</i>	Mirabiliaeae	Abroniinae	Tri-tetracolpado	37	Semitectada
<i>Bougainvillea off. buttiana</i>	Mirabiliaeae	Bougainvilleinae	Brevipericolpado	35	Semitectada
<i>Aclisanthes longiflora</i>	Mirabiliaeae	Boerhaaviinae	Periporado	183	Tectada-perforada(equinad)
<i>Allionia incarnata</i>	Mirabiliaeae	Boerhaaviinae	Periporado	79	Tectada-perforada(equinad)
<i>Boerhaavia caribaea</i>	Mirabiliaeae	Boerhaaviinae	Periporado	61	Tectada-perforada(equinad)
<i>Boerhaavia coccinea</i>	Mirabiliaeae	Boerhaaviinae	Periporado	66	Tectada-perforada(equinad)
<i>Boerhaavia diffuse</i>	Mirabiliaeae	Boerhaaviinae	Periporado	86	Tectada-perforada(equinad)
<i>Boerhaavia erecta</i>	Mirabiliaeae	Boerhaaviinae	Periporado	81	Tectada-perforada(equinad)
<i>Boerhaavia gypsophiloides</i>	Mirabiliaeae	Boerhaaviinae	Periporado	163	Tectada-perforada(equinad)
<i>Boerhaavia triquetra</i>	Mirabiliaeae	Boerhaaviinae	Colporado	21.4x18	Tectada
<i>Boerhaavia xantii</i>	Mirabiliaeae	Boerhaaviinae	Periporado	105	Tectada-perforada(equinad)
<i>Commicarpus brandegeei</i>	Mirabiliaeae	Boerhaaviinae	Periporado	103	Tectada-perforada(equinad)
<i>Cyphomeria gypsophiloides</i>	Mirabiliaeae	Boerhaaviinae	Periporado	124	Tectada-perforada(equinad)
<i>Mirabilis aggregatus</i>	Mirabiliaeae	Boerhaaviinae	Periporado	153	Tectada-perforada(equinad)
<i>Mirabilis biglovii</i> var. <i>gap</i>	Mirabiliaeae	Boerhaaviinae	Periporado	122	Tectada-perforada(equinad)

Continuación del cuadro de Comparación de Características Morfológicas.

Especie	Tribu	Subtribu	Abertura	Tamaño (micras)	Exina
<u>Mirabilis corymbosa</u>	Mirabilieae	Boerhaaviinae	Periporada	109	Tectada-perforada(equinad)
<u>Mirabilis jalapa</u>	Mirabilieae	Boerhaaviinae	Periporada	147	Tectada-perforada(equinad)
<u>Mirabilis laevigata</u>	Mirabilieae	Boerhaaviinae	Periporada	158	Tectada-perforada(equinad)
<u>Mirabilis linearis</u>	Mirabilieae	Boerhaaviinae	Periporada	102	Tectada-perforada(equinad)
<u>Mirabilis longiflora</u>	Mirabilieae	Boerhaaviinae	Periporada	231	Tectada-perforada(equinad)
<u>Mirabilis oligantha</u>	Mirabilieae	Boerhaaviinae	Periporada	104	Tectada-perforada(equinad)
<u>Mirabilis wrightiana</u>	Mirabilieae	Boerhaaviinae	Periporada	239	Tectada-perforada(equinad)
<u>Nyctaginea capitata</u>	Mirabilieae	Boerhaaviinae	Periporada	145	Tectada-perforada(equinad)
<u>Okenia hypogaea</u>	Mirabilieae	Boerhaaviinae	Periporada	112	Tectada-perforada(equinad)
<u>Oxybaphus comatus</u>	Mirabilieae	Boerhaaviinae	Periporada	120	Tectada-perforada(equinad)
<u>Salinocarpus marshii</u>	Mirabilieae	Boerhaaviinae	Periporada	156	Tectada-perforada, quinad.

CLAVE DE LAS ESPECIES BASADA EN LA MORFOLOGIA DEL POLEN :

Granos de polen tricolpados, tri-tetracolpados

Exina tectada

Forma de los granos: prolateos; Exina mayor que la nexina; exina más gruesa en los polos que en el ecuador..... *Selpianthus ericoides*

Forma de los granos subesferoideal

Nexina ligeramente mayor que la sexina..... *Pisonia aculeata*

Nexina menor que la sexina

Eje polar menor de 25 - micras..... *Cryptocarpus pyriformis*

Eje polar mayor de 25 - micras pero menor de 30 micras..... *Pisonia capitata*

Eje polar mayor de 30 - micras pero menor de 35 micras; los colpos casi llegan a los polos.... *Torrubia linearibracteata*

Eje polar mayor de 35 - micras pero menor de 40 micras; los colpos con margen..... *Grajalesia ferruginea*

Eje polar mayor de 50 - micras..... *Selpianthus ericarius*

Exina semitectada

Sólo con MEF se observan las báculas libres en las láminas. Forma esferoideal

Tricolpados únicamente..... *Nees tenuis*

Tri y tetracolpados..... *Nees psychotrioides*

Con microscopio de lug se observan claramente las báculas fibrosas en los lóbulos. Forma cefaloidal a ligeramente subesférica.

Exina menor de 3 micras *Mesonia turbinata*

Exina mayor de 3 micras..... *Mesonia villosa* var. *gurita*

Granos de polen tricolporados; exina menor de 4 micras; tamaño menor de 40 micras.....

Baccharis trimutata
(Tribu Bacchariinae)

Granos de polen pericolpados

Tectados..... *Ricciocarpos suberosus*

Semitectados

Colpos grandes *Abronia gracilis*

Colpos muy pequeños(brevicolpos). *Bougainvillea* eff. *buttiang*

Granos de polen periporados

Con exina tectada; psilocida; menor de 4 micras; tamaño del grano menor de 40 micras..... *Caligmonia rufopilea*

Con exina tectada; perforada; suprayequinada; mayor de 4 micras; tamaño del grano mayor de 60 micras..... Resto de las especies del subtribu Bacchariinae.

RESULTADOS

DESCRIPCIONES PALINOLÓGICAS

Momia granilla subsp. *clavata* (Standl.) Ferris

Apariencia. - Colorido. - Sinopsis. - Escondida, impoluta, radiata.

Esqueleto. - pericarpio, colpos simples.

Láminas. - Monocotiledónea. 3.38 micras de grueso, agujas mucho más gruesas que la lámina, espina 2.5 micras de grueso y ranura 0.88 micras de grueso.

Decoración de la lámina. - Monocotiledónea, con blancas libres dentro de las láminas, cueros embasculados y escasamente duplibasculados. Comillas, se observan sobre los cueros microscópicos supraestructurales y homogéneamente distribuidos.

nº	range (micras)	range (micras)	desviación típica	coeficiente de variación
Líq.	42.48	16.8	4.16	9.74 %
Caíno	2.38	1.2	0.25	10.3 %
Spina	2.5	1.0	0.22	9.20 %
Ranura	0.88	0.4	0.15	17.04 %
Ranura	0.8	0	0	0
Láminas	3.38	1.6	0.69	13.69 %

Forma. - Esferoidal o ligeramente subesférica.

Habitat. - Hierba.

Habitat. - Dunas costeras, suelo arenoso.

Localidad. - San Antonio del Mar, Baja California.

Líquidos de referencia. - Chenopodium 703 (MEB).

Nota: Debido a la ornamentación, no fué posible medir el tamaño de los colpos ni su número. El patrón de ésta especie se ha visto descrito anteriormente.

Hay fotografías con MEB.

Mesnia turbinata Ticeray

Asociación, Polaridad, Simetría.- Eumóada, isopolar, radial.

Abertura.- Tricocípida y Tetraocípida.

Eaxina.- Semitectada, 2.81 micras de grosor, sonina mucho más gruesa que la nexina, sonina 2.08 micras y nexina de 0.8 micras-de grosor.

Ornamentación de la exina.- Eusticulado, con báculos libres dentro de las idíminas, muros unibacelados, columnas de distinto tamaño y forma.

	\bar{x} (micras)	rango (micras)	desviación típica	coeficiente de variación (%)
Eje	37.28	12.0	3.38	0.09
Exina	3.3	0.8	0.32	1.00
Sonina	2.5	0.8	0.32	0.13
Nexina	0.8	0	0	0
Muros	0.8	0	0	0
Idíminas	2.43	1.0	0.32	0.13

Forma.- Esferoidal a ligeramente subesférica.

Hábito.- Hierba.

Habitat.- Planicie desértica, suelo arenoso.

Localidad.- El Este de Mexicali, Baja California.

Exemplar de referencia.- Wiggins 15742 (MEXU).

Nota : Debido a la ornamentación, no fué posible medir el tamaño de los colpos. El polen de ésta especie no ha sido medido anteriormente. Hay fotografías con MEB.

Micaria gilliesii var. gigantea (A. Gray) Japón

Asimetría. - Palpitación. Simétrica. Eumonada, isopolar, radial.

Ampliación. - Tri, tetra o más colpos.

Ejina. - Semitextada. 3.3 micras de grosor, sexina mucho más gruesa que la exina, sexina 2.5 micras y sexina 0.8 micras.

Ornamentación de la exina. - Cureticulada, con hácules libres dentro de las láminas, muros unibaculados. Con MEB, se observan microspinas supratectales.

	\bar{x} (micras)	rango (micras)	desviación típica	coeficiente de variación (%)
Eje	37.28	12.0	3.32	0.09
Exina	3.3	0.8	0.32	1.00
Sexina	2.5	0.8	0.32	0.13
Boxina	0.8	0.0	0.0	0.0
Muros	0.8	0.0	0.0	0.0
Láminas	2.43	1.0	0.32	0.13

Forma. - Esferoidal.

Hábito. - Hierba

Habitat. - Planicie desértica, suelo arenoso.

Localidad. - Al Este de Mexicali, Baja California.

Exemplar de referencia. - Wiggins 15742 (MEXU)

Nota : Debido a la ornamentación, no fué posible medir el tamaño de los colpos. El polen de esta especie no ha sido descrito anteriormente. Hay fotografías con MEB.

Astliamothia lasselliae Gray

Asociación, Polaridad, Simetría. - Eumonada, isopolar, radial.

Apertura. - Periporada, poros redondos, distribución equidistante, ectopores, poro-membrana, con anulus interno, sobre éste hay espinas. De acuerdo con la relación C/D dada por McAndrews J.H. y Swanson A.R. (1967), el número de poros de ésta especie es igual a 79. Diámetro de los poros 7.45 micras. El anulus solo se observa con microscopio de luz, 2.01 micras.

Exina. - Tectada-perforada, 8.5 micras de grosor, nexina más gruesa que la sexina, nexina 4.5 micras y sexina 4.09 micras de grosor.

Ornamentación de la exina. - Tectada-perforada, supraequinado, -- con espinas de diferente tamaño, éstas más altas que anchas, 2.9 x 1.77 micras. Distancia entre espinas, de 1 a 7 micras. Las perforaciones con un borde alrededor, irregularmente distribuidas, - la separación entre las perforaciones es entre menos de una micra hasta siete micras.

	\bar{x} (micras)	rango (micras)	desviación típica	coeficiente de variación
Eje	183.25	60.0	18.52	10.10 %
Poro (diámetro)	7.45	2.6	0.95	12.75 %
Anulus (diám.)	2.61	2.0	0.52	19.92 %
Dist. Interporal	38.8	12.0	4.99	12.86 %
Relación C/D	0.2133	0.3448	0.03	12.18 %
Exina	8.5	2.0	0.73	8.58 %
Sexina	4.09	1.0	0.27	6.6 %
Nexina	4.4	2.0	0.61	13.86 %
Columelias (diám.)	2.2	0.2	0.21	9.54 %
Espinas (altura)	2.9	1.6	0.69	23.79 %
Espinas (ancho)	1.77	1.5	0.38	21.47 %

forma. - Esferoideal

Hábito. - Hierba

Habitat. - Matarrreal xerófilo.

Localidad. - Chihuahua.

Ejemplar de referencia. - Crece sin númer. de colecta (mayo 12, 1890) (MEXU).

Note: Esta especie ha sido descrita anteriormente por Nowicki - (1970, 1975) y Erdtman (1952). Hay fotografías con MEB.

Astomia latistola L.

Anatomía. Paladar. Sinestesia. - Fumada, isopolar, radial.
Mucosas. - Periparénquima, poros redondos distribuidos simétricamente, - ectopores, poro-membrana, con anulus interno, por lo que sólo se -- observa con microscopio de luz. De acuerdo con la relación C/D, dada por McAndrews y Swanson (1967), el número de poros de ésta especie es igual a 132. Diámetro de los poros 3.19 micras, anulus, 1.66 micras.

Exina. - Tectada-perforada, 6.09 micras de grosor, nexina más gruesa que la sexina, sexina 3.01 micras, exina 2.87 micras de grosor.

Orientación de la exina. - Tectada-perforada, supraequinada, con - espinas simétricas más altas que anchas, 2.27 x 1.4 micras. Con MEB se observaron perforaciones muy juntas unas de otras, la mayoría con menos de una micra de separación, con el borde bien desarrollado al rededor de cada perforación, semejando "verrugas perforada". En ocasiones existen entre las perforaciones verrugas que parecen ser semejantes a las perforaciones con sus bordes pero sin perforación -- central. Con microscopio de luz los diámetros de las columelas se - observan redondos y muy juntos unos de otros.

\bar{x} (micras)	rango (micras)	desviación típica	coeficiente de variación (%)
Eje	78.64	33.6	12.27
Poro (diám.)	3.19	2.0	22.98
Anulus (diám.)	1.66	0.8	12.6
Dist. Interp.	16.22	11.2	17.2
Relación C/D	0.1651	0.108	29.49
Exina	6.06	2.4	17.82
Sexina	2.87	1.6	15.42
Nexina	3.01	2.2	20.92
Columelas(diam)	1.6	0.0	0.0
Espinas (altura)	2.27	2.0	34.87
Espinas (ancho)	1.4	1.8	44.21

Forma. - Esferoidal

Hábito. - Hierba

Habitat. - Izotal, suelo rocoso arenoso, de origen volcánico.

Localidad. - Puebla, municipio de Alchichica, Laguna de Alchichica, también se ha reportado en Veracruz.

Ejemplar de referencia. - Vazquez & Márquez V.2027 (XAL)

Nota: Esta especie ha sido descrita anteriormente por: Erdman (1952) Housser (1971), Margraf y D'Antoni (1978) y Nowicki (1975). Hay fotografías con MEB.

Baccharis sagittata Juss.

Asimilación, Polaridad, Simetría. - Encapada, isotáctica, radial.

Perforación. - Perforado, poros redondos distribuidos simétricamente, estopores, poro-membrana, con anulus interno, sobre éste se observan espinas. De acuerdo con la relación C/D dada por McAndrews y Swanson (1967), el número de poros de esta especie es igual a 35. - Diámetro de los poros 2.54 micras, anulus 1.5 micras.

Exina. - Tectada-perforada, 5.51 micras de grosor, nexina ligeramente más gruesa que la exina, nexina 2.8 micras, sexina 2.7 micras de grosor.

Ornamentación de la exina. - Tectada-perforada, supraequinada, con espinas distribuidas irregularmente, con una distancia interespinal de 1.5 a 7 micras; más altas que anchas, 1.75 x 1.47 micras. Con MEB se observan perforaciones con bordes poco definidos, con tamaño variable, de cerca de 1 micra de diámetro a menos de 0.3 micras de diámetro, la distancia entre éstas perforaciones es de menos de una micra hasta 4 micras.

	\bar{x} (micras)	rango (micras)	desviación típica	coeficiente de variación (%)
Eje	61.22	39.2	10.11	16.51
Poro (diámetro)	2.54	2.0	0.44	17.16
Anulus (diám.)	1.5	0.4	0.22	14.66
Dist. Introp.	19.68	14.4	3.53	17.94
Relación C/D	00.3168	0.1211	0.04	11.04
Exina	5.51	2.2	0.52	9.45
Sexina	2.70	1.2	0.01	0.36
Nexina	2.8	1.8	0.41	14.87
Columela (diám.)	1.24	0.8	0.27	21.65
Espinas (alt.)	1.75	1.0	0.47	26.74
Espinas (ancho)	1.47	0.0	0.25	16.92

Forma. - Esférica.

Hábito. - Hierba.

Habitat. - Vegetación baja, espesosa.

Localidad. - Querétaro.

Ejemplar de referencia. - Angüelles 42 (MEXU).

Nota : Ha sido descrita anteriormente por Eddman (1952) y Novitsk (1970). Hay fotografías con MEB.

2 ***Baccharia cassinae*** Miller

Anatomía. Relación. ***Simbiosis*** -- Euoneda, icopolar, radial.
Micrística. - Periporal, pores redondos distribuidos simétricamente ectopores, pore membrana, con anulus, sobre éste se observan espinas. De acuerdo con la relación C/D dada por McAndrews y Swanson (1967), el número de pores de ésta especie es igual a 58. Diámetro de los pores 3 micras, anulus 1.47 micras de grosor.

Ejina. - Tectada-perforada, 5 micras de grosor; nexina más gruesa que la sexina, sexina 3.49 micras, sexina 2.15 micras de grosor.

Orientación de la aguja. - Tectada-perforada, suprasequineda, espinas más altas que anchas, 2.59 x 1.14 micras, los diámetros de las columelas se observan con espacios entre ellos.

	\bar{x} (micras)	rango (micras)	desviación típica	coeficiente de variación (%)
Eje	65.9	25.6	6.74	10.22
Poro (diámetro)	3.0	2.4	0.46	15.33
Anulus (diám)	1.47	0.8	0.34	23.26
Dist. Introp.	16.46	14.4	4.26	25.88
Relación C/D	0.2470	0.1900	0.05	20.24
Exina	5.0	2.4	0.2	4.06
Sexina	2.15	2.0	0.6	27.90
Nexina	3.49	2.0	0.61	17.47
Columelas (diám)	1.14	0.8	0.1	5.66
Espinas (altura)	2.59	2.4	0.63	24.32
Espinas (ancho)	1.14	1.2	0.04	3.5

Forma. - Esferoidal.

Hábito. - Hierba perenne.

Habitat. - Dunas costeras, secundaria, suelo arenoso.

Localidad. - Alrededores de Laguna Verde, Veracruz

Ejemplar de referencia. - Dorantes et al. 5264(XAL)

Otros ejemplares observados. - Fay & Hernández 00805 (XAL) Fay & Hernández 00806 (XAL).

Note: Ha sido descrita anteriormente por : Barth e Barbosa (1972).

Biochevia diffusa L.

Anatomía, Polaridad, Simetría.- Eumonada, isopolar, radial.
Abertura.- Perforada, poros redondos distribuidos simétricamente octoporos, poro-membrana, con anulus, sobre éste se observan espiras. De acuerdo con la relación C/D dada por McAndrews y Swanson (1967), el número de poros de esta especie es igual a 38. El promedio de diámetro de los poros es de 3.23 micras, el anulus es - os de 1.66 micras de grosor.
Eaxa.- Tectada-perforada, 6.66 micras de grosor, nexina más gruesa que la sexina, sexina 4.1 micras y nexina 2.55 micras de grosor
Ornamentación de la axina.- Tectada-perforada, supraniquinada, espinas más altas que anchas 2.8 x 2.2 micras, los diámetros de las columnelas se observan con espacios entre ellas.

	\bar{x} (micras)	rango (micras)	desviación típica	coeficiente de variación (%)
Eje	85.62	27.2	7.7	8.9
Poro (diámetro)	3.23	1.2	0.34	10.6
Anulus (diám.)	1.66	0.4	0.2	9.3
Dist. Interp.	26.06	9.6	2.3	8.8
Relación C/D	0.3055	0.1357	0.028	0.13
Eaxa	6.66	2.0	0.35	5.3
Sexina	2.5	1.6	0.41	16.18
Nexina	4.1	1.2	0.28	6.7
Columnelas (diám.)	1.4	0.8	0.26	18.1
Espinillas (alt)	2.8	1.0	0.38	13.4
Espinillas (ancho)	2.18	0.4	0.2	9.1

Forma.- Esférica

Hábito.- Hierba perenne

Habitat.- Ruderal secundaria, suelo arenoso

Localidad.- Monte Pío, Veracruz.

Exemplar de referencia.- Fay & Hernández 820 (XAL)

Otro ejemplar observado.- Breedlove 24122 (MEXU).

Nota : Ha sido descrita anteriormente por Hair y Khan (1965), Sheng (1963) y Huang (1972).

Boucheria erecta L.

Asociación, Polaridad, Simetría.- Eumonada, isopolar, radial.

Apertura.- Periporada, poros redondos distribuidos simétricamente ectopores, poros con membrana, con anulus, sobre éste se observan espinas. De acuerdo con la relación C/D dada por McAndrews y Swanson (1967), el número de poros de ésta especie es igual a 43. El diámetro promedio de los poros es de 2.93 micras, el anulus con 1 micra de grosor.

Espina.- Tectada- perforada, espesacimada, espinas más altas que anchas, 3.4 x 2.36 micras, los diámetros de las columelas se observan con espacios entre ellas, 1.26 micras de diámetro.

	\bar{x} (micras)	rango (micras)	desviación típica	coeficiente de variación
Eje	90.92	17.6	6.45	7.97 %
Poro(diámetro)	2.93	0.8	0.34	12.94 %
Anulus(diám.)	1.76	0.8	0.24	13.58 %
Dist. interporal	23.11	9.6	2.24	9.69 %
Relación C/D	0.2872	0.11 [±] 2	0.04	12.36 %
Exina	6.80	2.4	0.76	11.08 %
Sexina	2.47	1.2	0.35	14.21 %
Mexina	4.41	2.4	0.74	16.69 %
Columelias(diám.)	1.26	0.4	0.15	11.75 %
Espinastaltura	3.4	1.2	0.33	9.71 %
" (ancho)	2.24	0.4	0.20	9.02 %

Forma.- Esterooidal

Hábito.- Rizofita

Hábitat.- Selva baja caducifolia, secundaria, suelo negro arenoso, pocas calizas aflorantes.

Localidad.- 3 km. al Este de Tuzamapa, Veracruz.

Ejemplar de referencia.- Vázquez V-2168 (XAL)

Otro ejemplar observado.- Souza 7350 (MEXU)

Note: Ha sido descrita anteriormente por: Nair y Khan (1965), Shima (1963), Skvarla y Nowicka (1976), Nowicka (1970 y 1975).

***Searchia anomobiliae* (H.A. G.) B. & B. (Fide I.M. Johnston)**

Asociación, Relación, Simetría. -Eumonada, isotípica, radial.

Absertusas. -Periporadas, poros redondos distribuidos simétricamente, ectopores, poros-membrana, con anulus muy evidente, sobre éste en pinas. De acuerdo con la relación C/D dada por McAndrews y Swanson (1967) el número de poros de ésta especie es igual a 94, el diámetro promedio de los poros es de 5.87 micras, el anulus es de 2.5 micras.

Exina. -Tectada, 9.5 micras de grosor, nexina algo más gruesa que la sexina, sexina 5.1 micras y sexina 4.4 micras de grosor.

Orientación de la exina. -Tectada, probablemente perforada, supra-escinada, espinas más altas que anchas, 1.6×1 micras, los diámetros de las columnas se observan con espacios entre ellas, 1.9-2 micras de diámetro.

	x (micras)	rango (micras)	desviación típica	coeficiente de variación
Eje	163.44	72	20.7	12.7 %
Poro(diámetro)	5.87	4.4	0.93	15.8 %
Anulus (diám.)	2.5	0.8	0.27	10.6 %
Dist. Interporal	33.06	15.2	4.1	12.4 %
Relación C/D	0.195	0.074	0.071	36.4 %
Exina	9.5	0.8	0.27	2.8 %
Sexina	4.4	0	0	0
Nexina	5.1	0.8	0.27	5.2 %
Columnelas(diám.)	1.92	0.8	0.2	10.4 %
Espinas(altura)	1.6	0	0	0
" (ancho)	1.0	0	0	0

Forma. -Esferoidal

Hábito. -Hierba

Habitat. -Matorral xerófilo

Localidad. -Cerro de Maquihuana, Tamaulipas

Ejemplar de referencia. -Stanford, Rutherford y Northgate 809 - (MEXU).

Nota: Esta especie no ha sido estudiada anteriormente.

Bourhavia trimutica S. Wets

Asimetría, Polaridad, Simetría. -Eumonada, isopolar, radial.

Abertura. -Triclopóreda, formada por tres colpos longitudinales y uno transversal.

Lámina. -Tectada, columelada en sección óptica, 2.35 micras de grosor, sexina más gruesa que la nexina, sexina 1.6 micras, nexina 0.75 micras de grosor.

Oncocitación de la axina. -Infretectada, microretículo con láminas ligeramente más anchas que los muros, columenera en sección óptica, microespina.

	\bar{x} (micras)	rango (micras)	desviación típica	coefi- ciente de va- riación
Eje polar	21.41	4.4	1.38	6.40 %
Eje ecuatorial	17.95	2	0.46	2.54 %
Exina	02.35	0.8	0.145	6.17 %
Sexina	1.6	0.8	0.115	7.18 %
Nexina	0.75	0.2	0.09	11.6 %
Muros(grosor)	0.49	0.01	0.03	5.3 %
Láminas (ancho)	1.19	0.2	0.04	3.27 %
P/E	1.19	0.35	0.07	6.48 %

Forma. -Subesférica o prolate

Hábito. -Hierba

Habitat. -Matorral xerófilo

Localidad. -Punta San Ignacio, Baja California

Exemplar de referencia. - Wiggins & Wiggins 18 040 (MEXU)

Note: El género Bourhavia ha sido reportado como problemático -- desde el punto de vista taxonómico debido a que las especies de este género son difíciles de distinguir entre sí en un área determinada, e imposible en otras áreas, probablemente por que existe hibridación. Fay (1980). Desde el punto de vista palinológico, esta especie es muy diferente a otras del mismo género, por lo que pensamos que esta especie está mal situada taxonómicamente, aunque cabe la posibilidad de una equivocada identificación. Esta especie, desde el aspecto palinológico, no ha sido estudiada anteriormente.

Sophomia sentii S. Mata

Asociación, Polaridad, Simetría. -Eummarginada, isopolar, radial.

Abscina. -Periporal, poros redondos, distribuidos simétricamente, ectopores, pores-membrana, con anulus sobre éste se observan espinas. De acuerdo con la relación C/D dada por McAndrews y Swanson(1967), el número de poros es de 62. El diámetro promedio de los poros es de 3.22 micras, el anulus es de 2.06 micras.

Espinas. -Tectada, probablemente perforada, supraquinada, espinas más altas que anchas, 8.62 micras de grosor, nexina algo más gruesa que la sexina, sexina 4.6 micras, sexina 4.31 micras de grosor.

Orientación de la espina. -Tectada, probablemente perforada, supraquinada, espinas más altas que anchas, 4.47 x 2.82 micras, los diámetros de los columellos se observan con espacios entre ellos, diámetro igual a 1.55 micras.

	x (micras)	rango (micras)	desviación típica	coeficiente de variación
Eje	105.14	36.4	10.2+	9.7 %
Poro(diám.)	3.22	1.2	0.22	6.7 %
Anulus (diám.)	2.06	0.4	0.15	7.5 %
Dist. Interporal	25.31	12.0	3.35	13.23%
Relación C/D	0.2432	0.1229	0.04	14.0 %
Exina	8.62	0.8	0.28	3.3 %
Sexina	4.31	0.8	0.22	5.1 %
Nexina	4.6	0.8	0.25	5.4 %
Columellos(diám.)	1.55	0.4	0.13	8.1 %
Espinas (altura)	4.47	0.8	0.4	8.8 %
" (ancho)	2.82	0.8	0.35	12.4 %

Forma. -Esferoidal

Hábito. -Hierba

Habitat. -Cerca de la costa, suelo arenoso

Localidad. -Cerca de la Bahía de San Carlos en Sonora.

Ejemplar de referencia. -Gentry 4724 (Musa)

Note: El polen de ésta especie no ha sido estudiado anteriormente

Eunomia villosa off Juttiusa Holtum ex Standley

Anatomía. - Palma del Síndrome. - Eumoneda, isopolar, radial.

Morfología. - Tribrevicelpidae

Lámina. - Semitectoria, sexina más gruesa que la nexina, sexina con un grosor promedio de 3.9 micras, sexina de 3.09 micras y nexina 0.9 micras de grosor.

Semipermeabilidad de la lámina. - Estructurada, con báculos de diversos tamaños, muros continuos, unihaculados, estriados. Las láminas con báculos libres. Láminas 3. Si micras de diámetro. Muros 1 micro de ancho.

	<u>x</u> (micras)	<u>rango</u> (micras)	<u>desviación</u> <u>típica.</u>	<u>coeficiente</u> <u>de variación.</u>
Eje	34.97	9.8	2.83	8.09 %
Exina	3.9	1.6	0.39	9.92 %
Sexina	3.09	1.6	0.4	13.05 %
Nexina	0.86	0.4	0	0.02 %
Láminas	3.51	3.2	0.74	21.10 %
Muros(grosor)	1.0	0.4	0.14	13.54 %
Báculos grandes	3.09	1.6	0.38	11.98 %
" chicos(alt)	1.62	1.2	0.28	17.13 %

Forma. - Esferoidal

Hábito. - Arbusto arborecente

Habitat. - Cultivada

Localidad. - Municipio de Apazapan, Veracruz.

Material de referencia. - Jardín CIP-1039, Veracruz (XAL)

Nota. - El polen de ésta especie ha sido estudiado anteriormente por Vishnu-Swarup y Brijendra (1964).

***Compsosoma hastatum* Standley**

Asociación, Polaridad, Simetría. - Eumonada, isopolar, radial.

Morfología. - Periporada, poros redondos distribuidos simétricamente, octoporos, poros con membrana, con anulus, sobre éste se observan espinas. De acuerdo con la relación C/B, dada por McAndrews y Swanson, el número de poros es igual a 74. El diámetro de los poros es de 4.32 micras, el anulus con 2.25 micras de grosor.

Exina. - Tectada, probablemente perforada, 8.49 micras de grosor, nexina ligeramente más gruesa que la sexina, sexina 4.31 micras y sexina 4.18 micras de grosor.

Densitación de la exina. - Tectada, probablemente perforada, superquadrada, espinas muy pequeñas, ligeramente más altas que anchas, 1.4 x 1.1 micras, los diámetros de las columnas de 1.32 micras. Los diámetros de las columnas se observan con espaciamiento entre ellas, con 1.32 micras de diámetro.

	\bar{x} (micras)	rango (micras)	desviación típica	coeficiente de variación (%)
Eje	102.62	80.0	23.1	22.51
Poro(diámetro)	4.32	1.4	0.8	18.48
Anulus	2.25	1.2	0.31	13.56
Dist. Interporal	22.70	17.6	4.29	18.88
Relación C/D	0.2200	0.09	0.03	11.74
Exina	8.49	3.2	8.89	10.52
Sexina	4.18	1.8	0.45	10.78
Nexina	4.31	1.6	0.49	11.44
Columnas(diám)	1.32	0.4	0.19	14.56
Espinas(altura)	1.4	0.4	0.21	14.92
" (ancho)	1.1	0.2	0.1	9.02

Familia. - Esferoidales.

Milto. - Arbusto

Habitat. - Matorral xerófilo

Localidad. - Al Este de la isla de Coronado, Baja California.

Número de referencia. - Mississ. 17736 (MEXU)

Nota: El polen de esta especie ha sido descrito brevemente por - Newbrey (1970).

Gelidium esculentum Kuntze

Asociación, Polaridad, Simetría.-Eumonada, isopolar, radial.

Abertura, -Periporada, ectopores, poros de 2×1.86 micras. Sin e- --- nulos. Segundo la relación C/D, McAndrews, Guerson(1967) tiene 37 poros.

Exina, - Tectada, 2.5 micras de grosor, sexina algo más gruesa que -

la sexina, sexina 1.4 micras y nexina 1.08 micras de grosor.

Oncocatéctida de la exina, - Tectada, paliada. Con ornamentación-

- infratextal, formada por las bases de las columelas.

	\bar{x} (micras)	rango (micras)	desviación típica	coeficiente de variancia.
Eje	28.82	5.6	1.69	5.9 %
Poro(largo)	2	0.4	0.39	19.15%
Poro(ancho)	1.86	1.2	0.3	16.38%
Distr. Interpolar	8.85	4.8	1.51	17.02%
Relación C/D	0.3087	0.2029	0.06	18.82%
Exina	2.5	1.2	0.26	10.3 %
Sexina	1.4	0.6	0.16	11.29%
Nexina	1.08	0.8	0.21	19.54%

Forma, -Esferoidal

Hábito, -Arbusto

Habitat, -

Localidad, -Dept. Huanuco, Perú

Ejemplar de referencia, -Woytkowsky, 7912(XAL)

Nota: No ha sido descrito brevemente por Nowicki (1975). Se colectó éste ejemplar en Perú, dentro del herbario XAL debido a que de ésta especie no había ejemplares colectados de otras zonas.

Quintecornis pacificus B.B. & K.

Asociación, Políptida, Siántrofa. - Eumonada, isopolar, radial.

Morfología. - Tricópodo.

Equia. - Tectado, 1.94 micras de grosor, sexina más gruesa que la nexina, sexina 1.23 micras, nexina 0.72 micras de grosor.

Ornamentación de la exina. - Tectada, con ornamentación infratectal que semeja un retículo.

	\bar{x} (micras)	rango (micras)	desviación típica	coeficiente de variación (%)
Eje ecuatorial	24.52	8.8	2.25	9.2
Eje polar	21.68	-	-	-
Exina	1.94	0.2	0.1	4.9
Sexina	1.23	0.4	0.11	9.3
Nexina	0.72	0.2	0.08	10.8
Muros (grosor)	0.6	0.0	0.0	0.0
Líminas (diám.)	0.8	0.0	0.0	0.0
P/E	0.94	-	-	-

Forma. - Subesféricoide.

Hábito. - Arbusto

Habitat. -

Localidad. - Dept. de Lambayeque, Perú.

Ejemplar de referencia. - Hudson 954 (MEXU)

Nota : Ha sido descrita por Novikov(1975). Se colectó un ejemplar de Perú, ya que dentro del herbario XAL no había ejemplares cole-
tados.

Schizotrichia excentrica (Martens & Gallootti) Standley

Asimetría, Polaridad, Simetría. - Excentrica, isopolar, radial.
Morfología. - Periparada, pores redondos distribuidos simétricamente, ectoperfora, pero-nembrana, con anulus, sobre éste se observan espinas. De acuerdo con la relación C/D dada por McAndrews y Swanson (1967), el número de pores es igual a 79, el diámetro de los pores es igual a 5.38 micras, el anulus es de 2.5 micras de grosor.

Espinas. - Tectada, probablemente perfurada, 9.08 micras de grosor, espina algo más gruesa que la axina, maxima 4.79 micras y media 4.29 micras de grosor.

Queratotaxis de la axina. - Tectada, suprasquinada, espinas pequeñas, ligeramente más altas que anchas, 1.4 x 0.91 micras, los diámetros de las columnas se observan con espacios entre ellas, diámetro de las columnas de 1.85 micras.

	\bar{x} (micras)	rango (micras)	desviación típica	coeficiente de variación (%)
Eje	123.69	90.0	21.5	17.38
Poro (diámetro)	5.38	1.2	0.41	7.67
Anulus (diám.)	2.5	0.8	0.27	10.93
Dist. Interporal	35.74	6.4	2.18	5.48
Relación C/D	0.2133	0.1844	0.04	15.72
Exina	9.08	2.8	1.62	17.82
Soxina	4.29	2.6	0.94	21.94
Maxina	4.79	2.4	0.7	14.66
Columnas (diám.)	1.85	0.8	0.32	17.43
Espinias (altura)	1.4	1.4	0.54	38.56
Espinias (ancho)	0.91	1.4	0.51	56.5

Forma. - Esféricida.

Hábito. - Hierba.

Habitat. - Matorral xerófilo, suelo arcilloso, llanura.

Localidad. - Nuevo León, vallecito sobre Laredo-Monterrey.

Ejemplar de referencia. - Stebns, Marshall, Johnston 4597 (MEXU).

Nota: Ha sido descrito por Neuville (1970).

Schizoloma formosum gen. et sp. nov.

Asociación. Poligádico. Sintaxis. - Eumonada, isopolar, radial.

Microscopio. - Tricólpado, con colpos simples, con margo.

Grano. - Tectada, 1.6 micras de grueso, exina más gruesa que la sexina, sexina 1.2 micras, sexina 0.4 micras de grosor.

Ornamentación de la exina. - Tectada, ornamentación infratextal, se observando un infratextículo, con muros y láminas de 0.4 micras de grosor.

	\bar{x} (micras)	rango (micras)	desviación típica	coeficiente de variación (%)
Eje equatorial	36.96	16.0	3.72	10.05
Eje polar	37.92	-	-	-
Exina	1.60	0.2	0.04	2.40
Sexina	1.2	0	0	0
Maxina	0.4	0.2	0.04	9.50
Muros	0.4	0	0	0
Láminas	0.4	0	0	0
P/E	1.2	-	-	-

Forma. - Subesférica.

Hábito. - Arbusto.

Habitat. - Bosque tropical caducifolio.

Localidad. - Berriozábal, Las Vistas, Chiapas.

Ejemplar de referencia. - Encuentro 6837 (MEXU).

Nota: Debido a la forma, sólo se midieron 5 granos en vista ecuatorial. Esta especie no ha sido descrita anteriormente.

Mastigilia compactus Vahl.

Anisomorfia, Polaridad, Simetría.- Eumonada, isopolar, radial.
Habitat.- Periporal, poros redondos con distribución equidistante, espesos, gruesos, poros con membrana, con anulus, sobre éste hay espinas. De acuerdo con la relación C/D dada por McAndrews y Swanson (1967), el diámetro de poros es igual a 90. El diámetro de los poros es de 4.26 micras, el anulus es de 2.43 micras de grosor.
Espinas.- Testada, probablemente periferada, supraesquinada, espinadas dientes que anchas, 4.26 x 2.4 micras, espinas largas y delgadas. Entre las columelas casi no hay espinas, el diámetro promedio de las columelas es de 2.24.

	\bar{x} (micras)	rango (micras)	desviación típica	coeficiente de variación (%)
Eje	152.5	46.0	10.87	7.13
Poros(diámetro)	4.24	0.8	0.35	8.32
Anulus	2.42	0.4	0.09	3.69
Dist. Interporal	30.24	12.0	2.80	9.24
Relación C/D	0.1993	0.09	0.02	12.02
Exina	9.18	1.6	0.53	5.7
Saxina	4.06	0.4	0.15	0.04
Nexina	5.12	0.8	0.42	8.25
Columelas(diám)	2.24	0.8	0.30	13.46
Espinias(altura)	4.26	1.6	0.68	16.02
Espinias(ancho)	2.4	0	0	0

Forma.-Esferoidal.

Habitat.- Hierba.

Material.- Matorral xerófilo, tierra rocosa, esclerado.

Localidad.- C. de los Pitos, Hidalgo.

Límites de referencia.- Sin colector (julio 22.1951) 21545 del herbario MEXU.

Note: El polen de ésta especie no ha sido descrito anteriormente

Megillia hispaniolae var. amara Ranz.

Asimetría, Polaridad, Simetría. - Eumonada, isopolar, radial.

Anatomía. - Periporal, poros redondos, distribuidos simétricamente, ectopores, poros-membrana, con anulus, sobre éstos se observan espinas. De acuerdo con la relación C/D dada por Mc Andrews y Swanson (1967), el número de poros es igual a 104. El diámetro de los poros es igual a 3.24 micras, el anulus es de 3.06 micras de grosor.

Exina. - Tectada-perforada, 7.38 micras de grosor, exina algo más gruesa que la sexina, sexina 3.8 micras, sexina 3.57 micras de grosor.

Orientación de la exina. - Tectada-perforada, supraequinada, con espinas pequeñas, más altas que anchas, 2.08×1.13 micras. Con MEB, el espacio interespinal es de 0.75 a 2.25 micras, las perforaciones presentan un borde bien definido, y se encuentran distribuidas irregularmente, la distancia varía de 0.15 a 2.6 micras, - el borde es de aproximadamente 0.15 micras, el diámetro de las perforaciones varía de 0.37 a 0.75 micras. Con microscopio de luz se observan espacios entre las columelas, diámetro de las columelas variable, en las más grandes, el diámetro promedio es de 2.38 micras y en las más chicas es de 1.08 micras.

	\bar{x} (micras)	rango (micras)	desviación típica	coeficiente de variación (%)
Eje	121.58	27.6	7.67	6.3
Poro (diámetro)	3.24	2.2	1.06	32.65
Anulus (diám.)	3.06	2.6	0.51	16.71
Dist. Interporal	22.5	8.8	2.49	11.06
Relación C/D	0.1860	0.1159	0.03	13.54
Exina	7.38	2.0	0.8	10.81
Sexina	3.57	2.0	0.52	14.68
Nexina	3.8	2.0	0.51	13.52
Columelar (diám. gde)	2.38	1.2	0.26	10.82
Columelar (diámd. eje)	1.08	0.8	0.24	22.67
Espinillas (altura)	2.08	2.0	0.47	22.49
Espinillas (ancho)	1.13	1.5	0.29	25.87

Forma. - Esféricoide

Habitat. - Hierba

Habitat. - Suelo rojo volcánico.

Localidad. - San Borja, México.

Familia de referencia. - Portea 199 (MEXU)

Nota: No ha sido descrito anteriormente. Hay fotografías con MEB

Nicobilis coronata Cov.

Asociación, Polaridad, Síntesis. - Eumonada, isopolar, radial.
Hábito. - Periporal, poros redondos distribuidos simétricamente, ectopores, poros-anulares, con anulus interno, sobre este se observan espinas. De acuerdo con la relación C/D dada por -- McAndrews y Swanson (1967), el número de poros de ésta especie es igual a 123. Diámetro de los poros de 3.78 micras, anulus de 2.42 micras.

Exina. - Tectada-perforada, 7.92 micras de grosor, nexina ligeramente más gruesa que la sexina, sexina 4.3 micras, exina 3.62 micras de grosor.

Oncamentación de la exina. - Tectada-perforada, epoxasquinada, - con espinas más altas que anchas, 3.74 x 1.98 micras. Con NED, la distancia interporal es de 1.3 a 2.6 micras, las perforaciones se encuentran irregularmente distribuidas, con una separación de 2.6 a 7.15 micras, las perforaciones presentan un borde bien definido alrededor, el diámetro de las perforaciones es de 0.8 a 1.3 micras. Con microscopio de luz los diámetros de las columelas se observan redondos y con espacios entre sí.

	\bar{x} (micras)	rango (micras)	desviación típica	coeficiente de variación (%)
Eje	109.1	50.0	12.11	11.1
Poros (diámetro)	3.78	0.4	0.18	4.13
Anulus (diám)	2.42	0.8	0.20	5.4
Dist. Interporal	18.58	8.8	2.13	11.48
Relación C/D	0.1713	0.0794	0.02	11.36
Exina	7.92	1.6	0.33	4.2
Sexina	3.62	1.2	0.24	6.68
Nexina	4.3	0.4	0.18	4.13
Columelas (diám)	1.69	0.6	0.18	10.49
Espinas (altura)	3.74	0.8	0.35	9.35
Espinas (ancho)	1.98	0.2	0.06	3.1

Forma. - Esférica

Hábito. - Hierba erecta 60 -70 cm.

Habitat. - Tierras de cultivo, alt. 2 000 m.

Localidad. - Edo. de Querétaro, cerca de bifurcación a Sta. Rosa Juregui.

Límpor de referencia. - Auxiliares 159 (MEN).

Note : No ha sido descrito anteriormente. Hay fotografías con NED.

Spirillum salinae L.

Asociación, Polaridad, Simetría. - Esmoneda, isotípica, radial.

estructura. - Periporal, poros redondos distribuidos simétricamente, ectopores, poro-anular, con anulus interno, sobre éste - se observan espinas. De acuerdo con la relación C/D dada por -- McAndrews y Swanson (1967), diámetro de los poros de ésta especie es igual a 123. Diámetro de los poros de 5.42 micras, anulus de 2.9 micras de diámetro.

Exina. - Tectado-perforada, 13.32 micras de grosor, nexina algo más gruesa que la exina, nexina 7.3 micras y exina 6.02 micras de grosor.

Orientación de la exina. - Tectado-perforada, supresquinada, - espinas muy pequeñas, con 0.85 micras de altura y menos de 0.8 micras de ancho, diámetro de las columelas con espacios entre - sí.

	\bar{x} (micras)	rango (micras)	desviación típica (micras)	coeficiente de variación (%)
Eje	146.8	98.0	23.45	15.76
Poro (diámetro)	5.42	3.0	0.67	16.02
Anulus (diám.)	2.9	2.0	0.42	14.32
Dist. Interpolar	24.84	12.0	4.17	16.79
Relación C/D	0.1712	0.1317	0.03	16.44
Exina	13.32	5.0	1.34	10.05
Sexina	6.02	3.0	0.76	12.57
Nexina	7.3	3.0	0.84	11.47
Columelias (diám.)	2.0	-	-	-
Espinas (altura)	0.85	1.1	0.37	43.47
Espinas (ancho)	0.8	-	-	-

Forma. - Esferoideal

Hábito. - Hierba anual.

Habitat. - Bosque caducifolio-encinar, secundaria, suelo arenoso rojizo.

Localidad. - Camino al Sumidero, Xalapa, Veracruz.

Ejemplar de referencia. - Zela 8.760 (MEXU) (Veracruz)

Otros ejemplares observados. - Zela 8.548 (MEXU) (Veracruz) y Jiménez A.00038 (MEXU) (Veracruz).

Nota : Ha sido descrito anteriormente por Erdman (1952), Barth y Raphan (1972), Heussner (1971), Nair y Khan (1965), Nowicka - (1970, 1975) y Sharma (1963).

Micromilia larinia (Benth.) Curran

Apariencia. - Palmeras, Simeónia, Isopolar, apical.

Anatomía. - Periporal, pores redondos distribuidos alfabéticamente, ectopores, pores-membrana, anulus interno, sobre éste se observan espinas. De acuerdo con la relación C/D dada por McAndrews y Swanson (1967), el número de pores de esta especie es igual a 105. Diámetro de los pores de 6.05 micras, anulus de 1.0 micras de grosor.

Ejina. - Tectada-perforada, 9.02 micras de grosor, rexina algo más gruesa que la exina, rexina de 4.93 micras y exina de 4.08 micras de grosor.

Orientación de la ejina. - Tectada-perforada, supraequinada, - espinas más altas que anchas, 3.04 x 1.76 micras, los diámetros de las columnelas se observan casi sin espacio entre sí.

	\bar{x} (micras)	rango (micras)	desviación típica	suficiente de variación (%)
Eje	158.32	54.0	10.92	6.9
Poro (diámetro)	6.05	2.4	0.66	10.9
Anulus (diám.)	3.69	1.6	0.46	12.5
Dist. Interporal	26.83	11.2	2.36	8.8
Relación C/D	0. 1848	0.0475	0.02	10.68
Exina	9.02	2.8	0.92	10.24
Sexina	4.09	1.4	0.36	8.8
Nexina	4.93	1.4	0.83	0.17
Columnelas (diám.)	2.94	0.8	0.32	10.8
Espinillas (altura)	3.04	1.6	0.45	14.7
Espinillas (ancho)	1.76	0.9	0.25	14.1

Forma. - Esferoidal

Hábito. - Arbusto

Habitat. - Matorral xerófilo

Localidad. - Norte de Rosario, Baja California.

Exemplar de referencia. - Chiesaki 525 (MEXU)

Nota: Ha sido descrito por Nowicki (1970).

72

Micromilia linnæi (Pursh) Meissner .

Anatomía. Palmito. Sinéspis. - Eumexina, isopolar, radial. Micromilia. - Periporal, poros redondos distribuidos simétricamente, ectopores, pores-aperturas. Con MEB se observa que alrededor de los poros hay mayor cantidad de espinas; anulus interno, sobre éste se observan espinas. De acuerdo con la relación C/D de la pur. McAndrews y Swanson (1967), el número de poros de ésta - especie es igual a 139. Diámetro de los poros de 3.3 micras, ~ anulus de 2.4 micras de grosor.

Espinas. - Tectada-perforada, 9.85 micras de grosor, maxima más ancha que la sexina, sexina de 5.9 micras y sexina de 3.95 micras de grosor.

Ornamentación de la vaina. - Tectada-perforada, suprequinada, -- espinas más altas que anchas, 2.14 x 1.08 micras, espacio interespinoso de 0.2 micras a 1.5 micras, con MEB se observa mucha variación en el tamaño de las espinas, de 0.2 a 3 micras de altura; las perforaciones presentan un borde bien definido de 0.5 - micras de grosor, la distancia entre las perforaciones es de -- 0.5 a 1.5 micras, las perforaciones presentan una distribución irregular, y un diámetro de 0.5 micras., con microscopio de luz se observan espacios entre los diámetros de las columelas.

	\bar{x} (micras)	rango (micras)	desviación típica	coeficiente de variación (%)
Eje	101.6	36.0	7.39	7.27
Poro (diámetro)	3.3	2.6	0.49	14.96
Anulus (diám.)	2.42	1.2	0.26	10.73
Dist. Interporal	17.63	8.0	1.77	10.06
Relación C/D	0.1738	0.0585	0.02	10.23
Exina	9.85	1.0	0.34	3.43
Sexina	3.95	0.8	0.18	4.44
Maxina	5.9	1.4	0.35	5.88
Columelas (diám.)	2.1	0.8	0.34	16.26
Espinas (altura)	2.14	1.4	0.28	12.88
Espinas (ancho)	1.08	0.5	0.16	15.00

Frona. - Esféricola

Mábito. - Hierba

Habitat. - Maternal mordífilo.

Localidad. - Al norte de Valle de Flores, Coahuila.

Exemplar de referencia. - Johnston 8555 (MEU)

Nota : El polen de esta especie no ha sido descrito anteriormente. Hay fotografías con MEB.

Mirabilis tenuiflora L.

Asociación, Polaridad, Simetría. - Eumonada, isopolar, radial.
Abertura. - Perforado, poros redondos distribuidos simétricamente, ectoperos, poros-membrana, sobre la membrana del poro se observan pequeñas espinas; anulus interno, sobre éste hay espinas. De acuerdo a la relación C/D dada por McAndrews y Swanson (-- 1967), el n.º de poros de esta especie es igual a más de 149. Diámetro de los poros de 5.8 micras, el anulus de 3.8 micras de grosor.

Exina. - Tectada-perforada, 13.92 micras de grosor, nexina ligeramente más gruesa que la sexina, sexina de 7.44 micras y sexina de 7 micras de grosor.

Ornamentación de la exina. - Tectada-perforada, supracolumnada, -- espinas más altas que anchas, 2.34 x 1.5 micras, se observan espacios entre los diámetros de las columnas.

	\bar{x} (micras)	rango (micras)	desviación típica	coeficiente de variación (%)
Eje	230.8	116.0	58.75	25.45
Poros (diámetro)	5.8	1.8	1.16	20.00
Anulus (diam.)	3.8	2.0	0.58	15.26
Dist. Interporal	27.24	13.8	3.81	13.94
Relación C/D	0.1221	0.0605	0.02	13.68
Exina	13.92	4.0	1.37	9.87
Sexina	7.0	2.0	0.91	13.04
Nexina	7.44	2.0	0.33	4.4
Columnas (diam.)	1.8	0.5	0.22	12.5
Espinias (altura)	2.34	1.0	0.47	20.10
Espinias (ancho)	1.5	0.5	0.35	23.37

Forma. - Esferoidal.

Hábito. - Hierba perenne

Habitat. - Izotal, secundaria, suelo arenoso rocoso.

Localidad. - Al sur de Totalco, Totalco, Veracruz.

Ejemplar de referencia. - Vascuza 2088 (MEXU) Veracruz.

Otras ejemplares observados. - Vascuza 2112 (MEXU) Veracruz.

Nota : Ha sido descrito anteriormente por Nowicke (1970).

Micrabilia elegantula (Standley) McBride

Apariencia. Polaridad, Simetría.- Eumonada, isopolar, radial.

Morfología.- Periporada, poros redondos distribuidos simétricamente, ectopores, poro-membrana, con anulus interno, sobre éste se observan espinas. De acuerdo con la relación C/D dada por McAndrea y Swanson (1967), el número de poros de ésta especie es igual a 85. Diámetro de los poros 4.86 micras, anulus interno - 2.05 micras de grosor.

Exina.- Tectada-perforada, 4.83 micras de grosor, nexina del mismo grosor que la exina, 2.41 micras de grosor.

Orientación de la exina.- Tectada-perforada, suprasequinal, espinas más altas que anchas 1.52 x 0.68 micras, distancia entre espinas de 2.5 a 3 micras, con MEB se observan las perforaciones irregularmente distribuidas, la separación entre perforaciones es de 2.56 micras, las perforaciones presentan un pequeño borde alrededor de 0.3 micras, diámetro de las perforaciones de 0.5 micras a 1.7 micras, existen entre las perforaciones verrugas muy pequeñas, de distribución irregular, con distancia de separación de 0.3 micras a 6 micras, el tamaño es variable de 0.3 a 1.3 micras de diámetro. Con microscopio de luz, los diámetros de las columelas se observan con espacios entre sí.

.	\bar{x} (micras)	rango (micras)	desviación típica	coeficiente de variación (%)
Eja	103.96	36.0	11.92	11.46
Poro (diámetro)	4.86	0.4	0.3	6.16
Anulus(diámetro)	2.05	0.4	0.14	6.87
Dist. Interporal	21.24	8.0	2.26	10.65
Relación C/D	0.2056	0.07	0.02	10.5
Exina	4.83	0.4	0.1	2.13
Sexina	2.41	0.1	0.03	0.54
Nexina	2.41	0.1	0.03	0.54
Columelos (diam)	1.69	0.8	0.21	12.42
Espinas (altura)	1.52	0.6	0.21	13.89
Espinas (ancho)	0.68	0.6	0.21	31.04

Forma.- Esférico

Hábito.- Arbusto muy ramificado, 1 m de alto.

Habitat.- Común en arena granítica, sobre acantilado granítico.

Localidad.- Arroyo de Catavincacito, México.

Ejemplar de referencia.- Moran 7874 (MEXU)

Note: No ha sido descrito anteriormente el polen de ésta especie. Hay fotografías con MEB.

Sigillaria antillana A. Gray

Anatomía. Polimorfismo. Sistematización. - Esomada, isopolar, radial.
Perforación. - Perforada, poros redondos distribuidos simétricamente, estrechos, poro-membrana, con anulus interno, sobre éste se observan espinas. De acuerdo con la relación C/D dada por McDowell y Swanson (1967), el número de poros de ésta especie es igual a más de 149. Diámetro de los poros 5.56 micras, anulus interno de 4.01 micras de grosor.

Ejine. - Tectada-perforada, 13.8 micras de grosor, nexina del -- mismo grosor que la exina, 7.05 micras.

Ornamentación de la exina. - Tectada-perforada, supresquinada, espinas más altas que anchas 3.2 x 2.4, la distribución de las columelas no es uniforme y se observan espacios entre ellas, -- diámetro de 2.7 micras de grosor.

	\bar{x} (micras)	rango (micras)	desviación típica	coeficiente de variación (%)
Eje	239.37	30.0	8.46	3.5
Poro (diámetro)	5.54	0.8	0.20	3.5
Dist. Interporal	27.66	4.8	1.23	4.4
Anulus (diam)	4.01	1.6	0.31	7.7
Relación C/D	0.116	0.02	0.01	4.1
Exine	13.8	6.4	1.4	10.4
Sexina	7.05	3.2	0.24	3.4
Nexina	7.05	3.2	0.24	3.4
Columelias (diam)	2.7	0.8	0.25	9.1
Espinias (altura)	3.16	1.2	0.22	7.0
Espinias (ancho)	2.38	1.2	0.24	10.2

Forma. - Esferoidal.

Hábito. - Árbusto

Habitat. - Matorral xerófilo.

Localidad. - Cañón de Bavispe, Noreste de Sonora.

Exemplar de referencia. - White 3275 (MEXU)

Nota : El polen de esta especie ha sido descrito anteriormente por Nowicke (1970).

Nom. científico Standley

Asociación, Polaridad, Simetría. Eumycetida, isopolar, radial.

Abertura. Triclopápedos, colpos con membrana, báculos libres sobre la membrana.

Exina. - Semitectada, exina de 2.65 micras de grosor, sexina más gruesa que la nexina, sexina de 1.51 micras y nexina de 1.02 micras de grosor.

Ornamentación de la exina. - Euroticuladas, con ornamentación intratextal, formada por báculos libres en las láminas, observadas claramente con MEB, con microscopio de luz se observa como un falso infrareticulado. Láminas de diverso tamaño y forma, tamaño promedio de las láminas más grandes 2.81 micras y de las más chicas 0.87 micras. Muros de 0.52 micras de grosor. Con MEB sobre el retículo se observan microespinas supretectales homogéneamente distribuidas y de forma constante.

	\bar{x} (micras)	rango (micras)	desviación típica	coeficiente de variación (%)
Eje ecuatorial	41.31	8.0	3.09	7.44
Eje polar	42.6	10.0	3.6	8.45
Índice área pdor	0.33	0.14	0.05	15.8
Exina	2.65	1.2	0.42	15.96
Sexina	1.51	1.2	0.29	19.21
Nexina	1.02	1.1	0.3	29.4
Láminas (grandes)	2.81	2.6	0.7	24.72
Láminas (chicas)	0.87	1.0	0.23	26.44
Muros	0.52	0.2	0.08	15.59
Relación P/E	1.04	-	-	-

Forma. - Subesféricoidal

Hábito. - Árbol perenne, 12 m.

Habitat. - Selva alta perennifolia, vegetación primaria, suelo color negro arcilloso.

Localidad. - Estación biológica Los Tuxtlas, Veracruz.

Ejemplar de referencia. - Calzada 784 (XAL).

Nota: El eje polar sólo se midió 7 veces, pues debido a la forma no es muy común en vista ecuatorial. El pulen de esta especie no ha sido descrito anteriormente. Hay fotografías con MEB.

Mosco neoheterinididae Bonnell Smith

Asociación, Polaridad, Simetría. - Euinodada, isopolar, radial.
Microscopio. - Tricelípedes y tetracelípedes, colpos con membrana, báculos libres sobre la membrana.

Exina. - Semitextada, exina de 2.5 micras de grosor, sexina más gruesa que la nexina, sexina de 1.8 micras y nexina de 0.78 micras de grosor.

Ornamentación de la Exina. - Eureticulada, con ornamentación infratextal, formada por báculos libres en las láminas, debido a que el retículo de los muros es muy grueso (cerrado) se observan claramente sólo con MEB. Con microscopio de luz, se observan como un falso infrarretículo. Láminas de muy diverso tamaño y forma, tambo promedio de las láminas más grandes 4.38 micras y de las más chicas 0.94 micras. Muros de 0.58 micras de grosor. Con MEB sobre el retículo se observan microespines suprotectales homogéneamente distribuidas y de forma constante.

	\bar{x} (micras)	rango (micras)	desviación típica	coeficiente de variación (%)
Eje ecatorial	46.35	22.8	5.75	12.34
Eje polar	48.4	4.0	2.19	4.52
Índice área polar	0.44	0.37	0.14	31.82
Exina	2.5	0.7	0.24	9.4
Sexina	1.8	1.6	0.01	0.55
Nexina	0.78	0.1	0.05	5.77
Láminas (grandes)	4.38	4.6	1.24	26.31
Láminas (chicas)	0.94	0.4	0.18	19.15
Muros	0.58	0.3	0.08	14.31
Relación P/E	1.04	-	-	-

Forma. - Subesféricoidal.

Hábito. - Árbol de 5 metros

Habitat. - Selva alta perennifolia, vegetación primaria, suelo arcilloso.

Localidad. - Estación de Biología tropical, Los Tuxtlas, Veracruz.

Ejemplar o referencia. - Cadillo 185 (MEXU) Veracruz

Nota : El eje polar se midió en cinco ejemplares, pues debido a la forma no es muy común en vista ecatorial. El polón de ésta especie ha sido descrito por Novicka (1975). Hay fotografías con MEB.

Histeridites amictus Chodat

Annamación, Anatomía, Sistología. - Es unímero, isopolar, mediel. Abertura. - Perforado, poros redondos distribuidos simétricamente, octopores, poro-nembrana, con anulus interno, sobre éste se observan espinas. De acuerdo con la relación C/D dada por McAn-
drews y Swanson (1967), el número de poros de esta especie es - igual a 62. Diámetro de los poros 9.36 micras, anulus interno de 2.24 micras de grosor.

Exina. - Tectada-perforada, 7.84 micras de grosor, nexina ligeramente más gruesa que la exina, nexina de 4.0 micras y sexina de 3.84 micras.

Ornamentación de la exina. - Tectada-perforada, supraequinada o pinos más altas que anchas, 2.3 x 1.66 micras, la distribución de las columelas no es uniforme, se observan espacios entre diámetro de 2.3 micras.

	\bar{x} (micras)	rango (micras)	desviación típica	coeficiente de variación (%)
Eje	144.9	42.0	10.17	7.0
Poro (diámetro)	9.36	6.4	1.38	14.7
Dist. Interporal	35.82	11.6	3.24	9.0
Anulus (diam)	2.24	1.2	0.32	14.4
Relación C/D	0.2482	0.1184	0.03	11.01
Exina	7.84	1.6	0.42	5.3
Sexina	3.84	1.2	0.3	7.8
Nexina	4.0	1.2	0.34	8.6
Columelas (diam)	2.3	0.8	0.23	9.8
Espinias (altura)	2.3	0.4	0.18	7.7
Espinias (ancho)	1.66	0.8	0.2	11.6

Forma. - Esferoidal

Habitat. - Arbusto

Habitat. - Matorral xerófilo

Localidad. - Cañón del tule, al norte de Saltillo, Coahuila.

Ejemplar de referencia. - Jones 22792 (MEXU).

Nota: El polen de esta especie ha sido descrito anteriormente por Nowicka (1970).

Stenocarpus hispidus Schle. & Cham.

Asociación, Polaridad, Simétrica, isopolar, radial.

Estructura. - Periperal, poros redondos distribuidos simétricamente, ectopores, poros-membrana, con anulus interno, sobre ésto se observan espinas. De acuerdo con la relación C/D dada por McAnally y Swanson (1967) el número de poros de ésta especie es igual a 68. Diámetro de los poros 4.04 micras, anulus interno --- 2.26 micras de grosor.

Exina. - Tectada-perforada, 9.18 micras de grosor, nexina algo más gruesa que la exina, nexina de 4.95 micras y sexina de 4.32 micras de grosor.

Ornamentación de la exina. - Tectada-perforada, supraesquinada, espinas de diferentes tamaños, variando desde 1.5 a 4.8 micras de altura, más altas que anchas, 3.91 x 1.88 micras. Con MEB, se observan algunas espinas bifidadas, distancia entre las espinas de 3.2 a 5.7 micras. Con MEB, se observan las perforaciones irregularmente distribuidas con una separación de 1.2 a 8 micras. Las perforaciones presentan un borde estriado alrededor, de aproximadamente 2.4 micras de ancho, el diámetro de las perforaciones es de 1.2 a 1.6 micras de ancho. Con microscopio de lug se observan los diámetros de las columnas muy juntas entre si.

	\bar{x} (micras)	Rango (micras)	desviación típica	coeficiente de variación
Eje	111.49	24	7.31	6.5 %
Poros(diam.)	4.04	2.0	0.46	11.4 %
Anulus	2.26	0.8	0.22	9.8 %
Dist. Interp.	25.96	9.6	2.15	8.2 %
Relación C/D	0.2337	0.1128	0.02	10.01 %
Exina	9.18	2.0	0.69	7.5 %
Sexina	4.32	2.4	0.46	10.7 %
Nexina	4.95	1.6	0.58	11.8 %
Columnas(diam.)	1.58	0.4	0.08	4.9 %
Espinillas(altura)	3.91	3.3	1.27	32.58 %
" (ancho)	1.88	2.3	0.73	38.83 %

Forma. - Esféricoide.

Habitat. - Hierba restrera, anual. 15 cm.

Habitat. - Dunas costeras

Localidad. - Carretera Alvarado, Veracruz, a 14 Km. de Alvarado.

Número de referencia. - Fay & Hernández 00836 (XAL)

Otro similar observado. - González 154 (MEXU).

Nota: Esta especie ha sido estudiada anteriormente por Nowicki -- (1970, 1975). Hay fotografías con MEB.

Onyaphthus conatus (Small.) Weatherby

Asociación, Polaridad, Simetría.- Eumonada, isopolar, radial.
Microtina.- Periporada, pores redondos distribuidos simétricamente--mente, ectoperas, pores con membrana, con anulus interno, sobre ésta se observan espinas. De acuerdo con la relación C/D dada --por McAndrews y Swanson (1967) el número de pores de ésta especie es igual a 98. Díámetro de los pores 5.47 micras, anulus de --2.1 micras de grosor.

Faxina.- Tectada-perforada, 8.14 micras de grosor, nexina más gruesa que la sexina, nexina de 5 micras, sexina de 3.13 micras de grosor.

Orientación de la exina.- Tectada-perforada, supresquinada, -espinas de diferente tamaño, más altas que anchas, 1.3×0.7 micras, con MEB la distancia interespina es de 0.8 a 2.6 micras.- Las perforaciones se observan irregularmente distribuidas, con una distancia de separación entre ellas de 0.7 a 2.3 micras. Presentan un borde bien definido y un diámetro de menos de 1 micro. Con microscopio de luz, los diámetros de las columelas no observan con muy poca separación entre sí.

	\bar{x} (micras)	rango (micras)	desviación típica	coeficiente de var.
Eje	119.77	40	14.7	12.3 %
Poro(diam.)	5.47	2.2	0.49	9.0 %
Anulus	2.07	0.8	0.26	12.6 %
Dist. Interg.	21.30	9.6	2.72	12.8 %
Relación C/D	0.1917	0.0938	0.03	14.8 %
Exina	8.14	2.8	0.66	8.0 %
Sexina	3.13	1.6	0.32	10.3 %
Nexina	5.01	2.0	0.41	8.1 %
Columelas(diam.)	1.94	0.9	0.24	12.10 %
Espinas(altura)	1.35	0.6	0.27	19.7 %
" (ancho)	0.7	0.2	0.14	19.3 %

Forma.- Esferoideal.

Habitat.- Hierba perenne de 1 m. de alto.

Habitat.- Ladera andesítica con vegetación de matorral xerófilo, con manchones de encinar.

Localidad.- 6 km. al oeste de San Cristóbal Ecatepec, parte alta de la Sierra Guadalupe, Edo. de México.

Ejemplar de referencia.- Rzedowski, 32171 (MEXU).

Nota: Esta especie no ha sido descrita anteriormente. Hay fotografías con MEB.

Pismis sevillana L. var. sevillana

Anatomía. Palenidad, Simetría.- Eumonada, isopolar, radial.

Abertura.- Triclopado, colpos con membrana, microespines sobre - la membrana.

Espina.- Tectada-perforada, con 1.68 micras de grosor, nexina ligeramente más gruesa que la sexina, sexina de 0.86 micras y sexina de 0.82 micras de grosor.

Ornamentación de la exina.- Tectada-perforada, con MEB, se observan perforaciones muy pequeñas de menos de 0.5 micras de diámetro, suprayeccionadas, con microespines de igual tamaño dispersas irregularmente en toda la superficie, éstas microespines sólo se observan con MEB, la distancia entre microespines es de 0.4 a -- 1.4 micras. Con microscopio de luz, se observa una ornamentación infratectal, formada por las columnas, semejando un infraratícuo falso.

	\bar{x} (micras)	rango (micras)	desviación típica	coeficiente de variación
Eje ecuatorial	38.02	12	3.65	9.0 %
Eje polar	37.3	--	--	--
Índice área polar	22.96	9.6	2.27	9.0 %
Exina	1.68	0.8	0.10	11.4 %
Sexina	0.82	0.4	0.06	9.4 %
Nexina	0.86	0.4	0.12	13.7 %
Láminas	0.55	0.1	0.05	9.3 %
Muros	0.47	0.1	0.39	8.3 %
Relación P/E	0.98	--	--	--

Forma.- Subesférica.

Hábito.- Arbusto perenne, 5 m.

Habitat.- Selva alta perennifolia, vegetación secundaria, suelo-café oscuro, enciloso rocoso.

Localidad.- Camino Plan de Arroyos-Alvaro Obregón, Hidalgotitlán, Veracruz.

Exemplar de referencia.- Dorantes 2853 (MEXU) Veracruz.

Nota: El eje polar sólo se midió en 8 granos, ya que no es común en vista ecuatorial. El polen de ésta variedad no ha sido estudiado anteriormente, pero el de la especie ha sido estudiado por: Barth y Barbosa (1972), Nowicka (1975), Roland (1969), Huang (1972) y Skvarla y Nowicka (1976). Hay fotografías de MEB.

Sigmoidesemite (Wetzel) Standl.

Anisotrofia, Paleocida, Símetra.- Eumonada, isopolar, radial.
Micromorfología.- Tricocípida, algunos grandes tetracocípados.

Tamaño.- Tectado, con 1.96 micras de grosor, sexina más gruesa que la nexina, sexina de 1.6 micras y nexina de 0.36 micras grueso.

Ornamentación de la araña.- Tectado, con ornamentación infratextal, formado por los columnas, comiendo un infrarretículo f.

\bar{x} (micras)	rango (micras)	desviación típica	coeficio de varian-
Eje ecuatorial	31.52	9.6	2.71
Eje polar	29.06	4	1.57
Exina	1.96	0.2	0.09
Sexina	1.60	0	0
Nexina	0.36	0.2	0.09
Láminas	0.3	- -	- --
Muros	0.3	- -	- --
Relación P/E	1.08	- -	- --

Forma.- Subesféricoidal.

Hábito.- Arbusto.

Habitat.- Matorral xerófilo.

Localidad.- San Bernardo, Sonora.

Exemplar de referencia.- Scott Gentry 1273 (MEXU).

Nota: Esta especie, paleontológicamente no ha sido descrita en anterioridad.

Pinnularia advena (Holmst) Standley.

Anisomorfia.- Polaridad, Simetria.- Eumonada, isopolar, radial.
Martura.- Peribrevicelipida, colpas simples, 7.73×4.8 micras.
Exina.- Tectada, 2.5 micras de grosor, exina ligeramente más gruesa que la nexina, sexina 1.27 micras, nexina 1.23 micras.
Ornamentación de la exina.- Tectada paliada, con ornamentación infratectal, los diámetros de las columelas sin espacios entre sí. Se observa un falso infrareticulo..

	\bar{x} (micras)	rango (micras)	desviación típica	coeficiente de variación
Eje	49.00	29.6	7.74	15.79 %
Colpas(largo)	7.73	5.6	2.81	36.34 %
" (ancho)	4.80	4.0	1.04	38.30 %
Dist. intercol.	20.90	6.6	2.78	13.28 %
Exina	2.50	1.2	0.29	11.72 %
Sexina	1.27	1.2	0.33	26.35 %
Nexina	1.23	0.6	0.14	11.62 %
Láminas	0.80	0	0	0
Muros	0.68	0.2	0.10	15.09 %

forma.- Esferoidal.

Míbito.- Arbusto, 2m.

Habitat.- Material cranciable.

Localidad.- La Camita, 8 km. al N. del Puerto de Venados (se encuentra en Veracruz).

Exemplar de referencia.- González 8383 (MEXU).

Nota: Ha sido descrita brevemente, por Erdtman (1952). No coincide con la descripción de Erdtman, pues él los describe como periporados. Sólo se midieron 20 granos.

Salpingidium scutellare Humb. et Bonpl.

Asociación, Polaridad, Simetría.- Eumonada, isopolar, radial.

Morfología.- Triclopado, con MEB, se observan membranas en los colpos, con gran cantidad de verrugas.

Ening.- Tectado-perforada, 1.96 micras de grosor, sexina más gruesa que la nexina, sexina 1.47 micras, nexina 0.49 micras de grosor.

Ornamentación de la exina.- Tectado-perforada, las perforaciones son casi imperceptibles con un aumento de x3500 con MEB, siendo de menos de 0.2 micras de diámetro. Con MEB, se observan microespines de igual tamaño, dispuestas en toda la superficie en forma irregular. Con microscopio de luz, se observa ornamentación infratectal, semejando un infratectile.

	\bar{x} (micras)	rango (micras)	desviación típica	coeficiente- de variación
Eje ecatorial	51.74	13.0	3.93	7.6 %
Eje polar	52.29	22.0	5.69	10.9 %
Índice área polar	12.56	6.0	1.40	11.1 %
Exina	1.96	0.4	0.10	5.1 %
Sexina	1.47	0.3	0.10	6.6 %
Nexina	0.49	0.4	0.10	20.7 %
Láminas	0.40	--	--	-- --
Muros	0.40	--	--	-- --
Relación P/E	1.01			

Forma.- Subesfoidal.

Hábito.- Arbusto.

Habitat.- Campos abiertos, bordes de caminos.

Localidad.- Espinalillo, Guerrero. (también se encuentra en Veracruz).

Ejemplar de referencia.- Fuentes sin número. (abril 24, 1955) -- (XAL).

Nota: El polen de ésta especie ha sido descrito anteriormente por Newicke (1975) y Skvarla y Newicke (1976). Hay fotografías con MEB.

Selaginella scandens Standl.

Asociación, Poligidae, Síntesis. - Eumeda, isopolar, radial.

Morfología. - Tricólpado, colpos simples que casi llegan hasta los polos.

Estructura. - Tectada, es más gruesa en los polos que en el ecuador, - en los polos 3.75 micras de grosor, en el ecuador 1.8 micras de grosor, sexina más gruesa que la nexina, en los polos sexina de 1.95 y nexina de 0.86 micras de grosor, en el ecuador sexina de 1.35 y nexina de 0.5 micras de grosor.

Ornamentación de la vaina. - Tectada, paliada vista al microscopio de lug, con ornamentación infratextal semejando un infrarectáculo.

	\bar{x} (micras)	rango (micras)	desviación típica	coeficiente de variación
Eje ecuatorial	33.39	12.8	3.12	9.3 %
Eje polar	51.70	20.0	6.00	11.6 %
Exina en los polos	2.75	1.0	0.39	14.1 %
Exina ecuatorial	1.85	0.8	0.27	14.4 %
Sexina polar	1.95	0.8	0.28	14.2 %
Sexina ecuatorial	1.35	0.6	0.20	14.6 %
Nexina polar	0.84	0.6	0.24	0.28 %
Nexina ecuatorial	0.50	0.6	0.19	0.37 %
Relación P/E	1.55	-	-	-

Forma. - Prolado.

Habitat. - Arbusto de cerca de 2 m. de altura.

Habitat. - Bosque tropical subcaducifolio.

Localidad. - Al E. de Acapulco, Guerrero.

Ejemplar de referencia. - Freeland & Spatzman 94 (MEXU).

Otro ejemplar observado. - González 548 (MEXU).

Note: Descripto brevemente por Erdtman (1952).

Selaginella marshii Johnstonii

Asimilación, Polímeros, Sintesis. - Eumonada, isopolar, radial.

Morfología. - Perforada, pores redondos distribuidos simétricamente, octopores, pores con membrana, con anulus interno, sobre éste se observan espinas. De acuerdo con la relación C/D dada por McDowell y Swanson (1967) el número de pores de ésta especie es igual a 58. Diametro de los pores 7.94 micras, anulus de 2.98 micras de grosor.

Ejina. - Tectada, probablemente perforada, 10.08 micras de grosor nexina más gruesa que la sexina, nexina de 5.4 micras, sexina de 4.58 micras de grosor.

Orientación de la exina. - Tectada, probablemente perforada, su prequinada, espinas más altas que anchas, 3.02 por 2.12 micras. -- con microscopio de luz, los diámetros de las columelas se observan con muy poca separación entre sí.

	\bar{x} (micras)	rango (micras)	desviación típica	coeficiente de variación
Eje	155.89	78.0	15.97	10.2 %
Poro(diám.)	7.94	4.8	1.20	15.1 %
Anulus	2.98	0.8	0.35	11.7 %
Relación C/D	0.2480	0.0255	0.02	9.4 %
Exina	10.08	2.4	0.77	7.6 %
Sexina	4.58	1.0	0.30	6.4 %
Nexina	5.40	3.2	0.90	16.7 %
Columelas(diám.)	2.20	1.6	0.48	21.6 %
Diat. Interporal	38.64	15.2	4.81	12.4 %
Espinillas(altura)	3.02	0.8	0.35	11.5 %
Espinillas(ancho)	2.12	0.5	0.30	14.0 %

Forma. - Esferoidal.

Hábito. - Hierba.

Habitat. - Matorral xerófilo.

Localidad. - Al Sur de la Estación Hormones, Coahuila.

Ejemplar de referencia. - Turner 6012 (MEXU).

Nota: El polen de ésta especie no ha sido descrito anteriormente. Se le midieron 20 granos.

Terrubis linearibacterante (Neimark) Standl.

Asociación, Relación, Simetría.- Eumonada, isopolar, radial.

Abertura.- Triclopado, con colpos simples que casi llegan a los polos.

Exina.- Tectada, de 1.6 micras de grosor, sexina mucho más gruesa que la nexina, sexina de 1.3 micras y nexina de 0.32 micras - de grosor.

Ornamentación de la exina.- Tectada, ligeramente ondulada, con -- ornamentación infretectal que semeja un infranetículo.

	\bar{x} (micras)	rango (micras)	desviación típica	coeficiente de variación
Eje ecuatorial	34.62	8.0	1.97	5.69 %
Eje polar	33.96	-	-	-
Exina	1.60	0	0	0
Sexina	1.28	0.1	0.04	3.10 %
Nexina	0.32	0.1	0.04	12.50 %
Relación P/E	0.96	-	-	--
Muros	0.30	0	0	0
Láminas	0.30	0	0	0

Forma.- Subesféricoidal.

Hábito.- Árbol.

Habitat.- Bosque deciduo.

Localidad.- Chichen Itzá, Yucatán. (también se encuentra en Veracruz).

Exemplar de referencia.- Lundell 7429 (MEXU).

Nota: El eje polar sólo fué posible medirlo en 5 granos, pues no es común encontrar granos en vista ecuatorial. El polen de ésta - especie no ha sido descrito anteriormente.

DISCUSION

La familia Myctaginiaceae es una familia euripalinalógica en muchos aspectos, como las aberturas, desarrollo de la exina, forma, tambo, por lo que las características del polen pueden utilizarse fácilmente como un carácter diagnóstico, a nivel de tribu, subtribu y en algunos casos para delimitar géneros y especies. Tomando en cuenta únicamente las características del polen, fué posible estructurar una clave para las especies de las tribus Boldoae, Pisoneae, Colignoneae y para las especies de los subtribus Abroniinae y Bougainvilleinae. Pero para las especies del subtribo Bourhaeviinae no fué posible hacer una clave correcta ya que hay varias especies de géneros diferentes o del mismo género que presentan características similares además de que tienen un rango de variación muy amplio, sin embargo, el intento de hacer una clave para éste subtribo, ha sido únicamente tomando las características del polen observadas con microscopio de luz pero, si hubiera sido posible observar a todas las especies con MEB, seguramente se hubre logrado hacer la clave ya que aquellas especies que pudieron ser estudiadas con MEB, presentan grandes diferencias en cuanto a la

forma y estructura de las perforaciones, espinas y pores; por ejemplo Gonia brunnescens, presenta espinas bifidadas y las perforaciones presentan un borde muy característico que es estriado, en cambio Mirabilis corymbosa y Mirabilis bigelovii var. gigantea, no tienen espinas bifidadas, y los bordes son sin estrías, pero en Gigasynthes el borde de las perforaciones es más pronunciado que en M. bigelovii var. gigantea también la distancia entre las perforaciones es distinta en éstas dos especies.

Las especies aquí estudiadas, se agruparon tomando en cuenta principalmente, el tipo y número de aberturas, tamaño y desarrollo de la exina. De acuerdo con ésta agrupación y a la clave que se hizo, tenemos los siguientes 7 grupos: 1º- Tricolpados tectados, 2º- Tri y teracolpados eureticulados (semitectados), 3º- Tricolporados tectados, 4º- Pericolpados tectados, 5º- Pericolpados eureticulados (semitectados), 6º- Periporados tectados psilados y 7º- Periporados tectados suprasquinados. Este arreglo contrasta con el propuesto por Nowicke (1975) que es de 4 grupos: 1º- Tricolpados tectados perforados, 2º- Pantoporados tectados perforados, 3º- Pantocolpados tectados perforados y 4º- Tricolpados reticulados.

Una forma de medir el número de pores en periporados, es la empleada por Monazzini (1952, cit. en McAndrews y Swan-

son 1967) que consiste en contar los poros del hemisferio superior y multiplicarlos por dos. Otra forma es la utilizada por McAndrews y Swanson (1967), que consiste en la relación de dos medidas, la distancia de dos poros adyacentes (C) y el diámetro del grano (D). En éste trabajo se utilizó ésta última forma, pero nos parece importante hacer notar que con respecto al método empleado por Monazzon y el empleado en éste trabajo, hay una gran diferencia en los resultados siendo mayor el número de poros cuando se emplea el método de McAndrews y Swanson. En general las descripciones de Nowicki (1970, 1975) coinciden con las de éste trabajo, para las especies estudiadas por los dos trabajos, a excepción del número de poros. Nowicki, -probablemente emplea el éstado de Monazzon o uno parecido, pues sus resultados en cuanto al número de poros son bastante menores.

En éste trabajo, las diferencias polínicas más notorias, son a nivel de tribu y subtribu, aunque también llega a haber algunas diferencias muy notorias a nivel de géneros y especies. Tenemos que dentro de la tribu *Mirabiliae* subtribu *Boerhaaviae*, las especies tienen el polen periporulado, tectado-perforado, supraequinido, exina muy gruesa, con la nexina mayor que la sexina. Sin embargo, dentro de éste grupo, el género *Boerhaavia*, ha sido reportado cí-

no problemático desde el punto de vista taxonómico Fay (1980). De las 7 especies de este género aquí estudiadas, 6 tienen el polen periporoso, muy semejante entre sí, pero una de ellas, *Benthavia trimaculata*, es muy distinta ya que es tricolporado. Por lo que basandonos únicamente en la morfología del polen, taxonomicamente se colocaría a ésta especie en otro subtribu, probablemente en la tribu Leucosterreae, pues en éste grupo se han encontrado tricolporados (Nowicki 1971).

Las especies estudiadas del subtribu Abroniinae, tribu Mirabiliae, son todas eureticuladas, pero se diferencian por las aberturas, ya que hay tricolpadas, tetracolpadas y pericolpadas.

La única especie estudiada del subtribu Bougainvilliae del tribu Mirabiliae es muy parecida al anterior, presentando - polen eureticulado brevitricolpado.

Los granos de polen de la tribu Colligonaceae se caracteriza por ser periporoso-tectado, psilados.

La tribu Pisoniaceae es muy variable en cuanto a tipos polínicos ya que presenta granos de polen tricolpados tectados, tricolpados con tectum perforado, tri y tetracolpados eureticulados y pericolpados tectados. En cambio la tribu Boldoaceae, sólo presenta -

los tipos tricolpado-tectado y tricolpado-tectado-perforado.

De las cinco tribus de *Nyctaginaceae*: *Mirabilieae*, - *Pisonieae*, *Colignonieae*, *Baldieae* y *Leucosterieae* Neimark (1934), sólo la tribu *Leucosterieae* no ha sido estudiada en éste trabajo. Nowicka (1971), establece relaciones entre las tribus *Nyctaginaceae*-a excepción de la tribu *Pisonieae*, por no haberla estudiado, basándose en la morfología del polen, ésto lo hace considerando como característica más importante el desarrollo de la superficie de la exina, sin embargo, observa que hay cierta correlación entre el desarrollo de la exina y el tipo de la abertura.

En éste trabajo, para establecer las relaciones entre los diferentes grupos de *Nyctaginaceae* estudiados, en el aspecto palinológico se considera como característica más importante el tipo y número de aberturas, aunque también se toma en cuenta la característica de la exina como carácter secundario, es decir, que los granos con aberturas tricolpadas son más primitivos, siguiendo los que presentan aberturas pericolpadas y los más avanzados son los que tienen aberturas periporadas; con respecto a la exina, aquellos granos con exina muy gruesa y ornamentada son los más avanzados, siendo más primitivos en cambio los que tienen exina delgada y sin ornamentación. Con respecto a las aberturas, los estu-

dios hechos por Van Campo (1967-1976), en los que establece patrones de variación morfológica, su modelo sucesiforme (tricolpado-pericolpado-periporado) encontrado en familias de Centrosporales, se cumple de acuerdo a los resultados de éste trabajo. Por todo ésto, tomando en cuenta únicamente las características morfológicas del polen, se considera que la tribu más primitiva es Pisoneae, con aberturas tri-tetra y pericolpadas éstas tres con exina tectada, -tri y tetracolpadas eureticuladas (semitectadas), puesto que de acuerdo con Neir (1967) el carácter euripalino, es considerado como primitivo, en comparación con el estenopalino. De los granos tricolpados tectados de éste grupo derivaría el grupo Boldosae con aberturas tricolpadas, con exina tectada. Probablemente de los géneros semitectados de la tribu Pisoneae se originarían las especies de los subtribus Bougainvilleinae y Abroniinae de la Tribu Mirabiliae, puesto que son colpados semitectados; géneros pericolpados de Pisoneae darían origen a las especies de la tribu Colignonaceae --con granos periporados-- con exina tectada, delgada y psilada y al subtribu Boerhaaviinae a excepción de Boerhaavia triquetra con aberturas periporadas y una exina muy gruesa y ornamentada. Lo antes dicho se representó mediante un esquema.

Periporoides tectados epiprocumbentes.
T. Mirabilis Sub. Gouaniinae
ejem. Micromilia ciliolata

Periporoides tectados polioides

T. Pisocereae
ejem. Caffraea eximia

Peribrevicarpoides tectados polioides

T. Pisocereae
ejem. Micromilia sphaerocarpa

Tri-tetra y pericolpoides semipectados

T. Mirabilis
Sub. Mironiinae
ejem. Abronia grisea

Tricolporoides
ejem.
Betulastra

Brevitricolpoides
T. Mirabilis
Sub. Bougainvilliae
Bougainvilliae aff. hirtella

Tricolpoides tectados
T. Boldoaceae
ejem.
Salpinganthus
macrodontus

Tricolpoides semipectados
T. Pisocereae
ejem. Haze tenuis

Tricolpoides tectados
T. Pisocereae
ejem. Pithecellobium aculeatum

Tri-tetra, pericolpoides tectados y tri-tetracolpoides semipectados

B I B L I O G R A F I A C I T A D A

- BARTH, O.H. y BARBOSA, A.T. 1972. Catálogo dos polen de Brasil-Meridional 14 - Nyctaginaceae e Phytolacaceae. -- Inst. Oswaldo Cruz Min. Rio de Janeiro 70 (3) - 45-69.
- CRAVENQUIST, A. 1968. The evolution and classification of flowering plants. Boston: Houghton Mifflin Co. 399 p.
- ERDTMAN, G. 1952. Pollen morphology and plant taxonomy (an introduction to palynology) angiosperms. Chronica Botânica Co. Weltman, Mass/Almqvist and Wiksell-Stockholm, 539 p.
- Faegri, K. & Iversen, J. 1964. Textbook of pollen analysis. Munksgaard, Copenhagen. 237 p.
- FAY, J.I. 1980. En Flora de Veracruz, Instituto Nacional de Investigaciones sobre recursos Bióticos. Xalapa, Ver. México. (en prensa).
- HEIMERL, A. 1934. Nyctaginaceae, en Engler & Prantl, Naturl. -- Pflanzenfam. Wilhelm Engelmann. Leipzig. ed. 2, IV 16: 86-134.
- HOUSER, C. J. 1971. Pollen and spores of Chile. The University of Arizona Press. 167 p.

- Huang, T. Ch. 1972. Pollen Flora of Taiwan. National Taiwan Uni-
versity Botany Department Press. Text printed-
by Ching-Hua Press Co. LTD. 297 p.
- Lawrence, G.E.H. 1969. Taxonomy of vascular plants. (5th printing)
Macmillan and Co., New York. 477-481 p.
- Merkgraf, V. y D'Antoni, H. L. 1978. Pollen flora of Argentina.
Modern spore and pollen types of Pteridophytes,-
Gymnospermas and Angiospermas. The University -
of Arizona Press. Tucson, Arizona. 208 p.
- McAndrews, J. H. y Swanson, J. H. 1967. The pore number of pari-
porate pollen with special references to Chenopodiaceae. Review of palaeobotany and palynology,-
3 : 105-117.
- Nair, P. K. K. 1961. Pollen grains of cultivated plants, 2 Bou-
gainvillea Comm., Hibiscus Medik and Euphorbia-
pulcherrima Willd. J. Indian Botan.Soc.40(3) :
365-381.
- Nair, P. K. K. 1967. Pollen morphology with reference to the tax-
onomy and phylogeny of the Monochlamydeae. Revi-
ew of Palaeobotany and Palynology. 3 : 81-91.
- Nair, P. K. K. y Khan, H. A. 1965. Pollen grains of Indian plai-
nts, 7. Nyctaginaceae. Bull Natl. Botan Garden -
(Indian) V.III : 1-13.
- Nowicke, J. W. 1970. Pollen morphology in Nyctaginaceae I. (Nyct-
aginaceae (Mirabiliae). Grana 10 : 79-80.

- Nowicki, J. W. 1975. Pollen morphology in the order Centrosporinae. *Grana* 15: 51-77.
- Nowicki, J. W. y Luikart, T. J. 1971. Pollen morphology of the Nyctaginaceae. II. Colignonaceae, Solanaceae and -Laucastraceae. *Grana*, 11 (3) : 145-150.
- Nowicki, J. W. y Siveria, J. J. 1977. Pollen morphology and relationship of the Plumbaginaceae, Polygonaceae - and Primulaceae to the order Centrosporinae. *Smithsonian Contributions to Botany*. Number 37.
- Praglowski, J. 1971 Reticulate and allied exine. *Grana* 11:79-86
- _____ 1975 Importance de la mise au point des termes - "structure" et "sculpture" de l'exine. *Bull. Soc. Bot. Fr., Coll. Palynologie* 122: 75-78.
- _____ y Punt, W. 1973. Un elucidation of the microreticulate structure of the exine. *Grana*, 13: 45-50
- Redford, A. E. et al. 1974. Vascular plant systematics Harper & Row, Publishers. 891p.
- Reitama, T. 1970. Suggestions towards unification of descriptive terminology of angiosperm pollen grain. *Riv. Palaeobot. Palynology*. 10 : 39-60.
- Roland, F. 1969. Etude de l'ultrastructure des apertures. III.- Pollen et Spores 11 (3) : 475-498.
- Selgado-Labourier, M. L. et al. 1969. Pollen grains of plants of the "Corredor" XII Ebenaceae, Nyctaginaceae, Rhamnaceae e Solanaceae, Sol. Mus. Paraense Goeldii Bot. 32.

- Sharma, H. P. 1963. Studies in the order Centrosporinales (Ficaceae, Nolluginaceae, Myctaginaceae and Portulacaceae) J. Indian Bot. Soc. 33: 637-645.
- Skottsberg, C. 1936. The arborescent Myctaginaceae of Hawaii Sver. Botan Trädg. 39: 722-743.
- Standley, P. C. y Steyermark, J. A. 1946. Myctaginaceae, en Flora Guatemala. Fieldiana: Botany 24 (4): 174-192.
- Skrarla, J. J. y Nowicki J. W. 1976. Ultrastructure of pollen exine in Centrosporinales Families. Plant. Syst. Evol. 126, 55-78.
- Takhtajan, A. 1969. Flowering plants, origin and dispersal. Sonian Institution Press. Washington, D.C.x +
- Thorne, R. F. 1968. Synopsis of putatively phylogenetic classification of the flowering plants. Aliso 6: 54-66.
- Van Campo, M. 1967. Pollen et classification. Rev. Palaeobotan. Taxnology., 3: 65-71.
-
1976. Patterns of pollen morphological variation within taxa En : The evolutionary significance of the exine. Ed. I.K. Ferguson & O.Muller J. Linn Soc. Symp. Ser. 1: 125-137.
- Vishnu, Swarup y Brijendra. 1964. Pollen morphology and leaf traits in classification in Bougainvillea. Indian Hort., 21(2): 155-164.

L A M I N A S

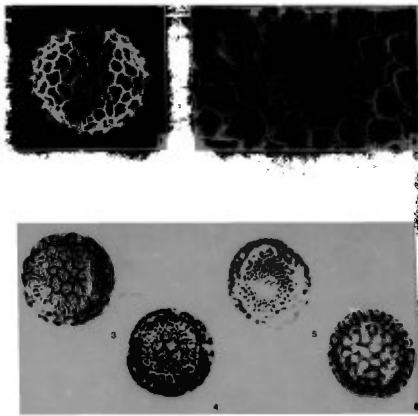


Figura 1

Amanita muscaria subsp. *muscaria*. 1 y 2, polen germinando en polarizado; 3, 4 y 5, 6, fotomicrografías de los mismos ejemplares de la figura 3, 6; X 1000. 1, vista total del polen germinando en polarizado; 2, detalle de la germinación mostrando el estilete microscopiado y las glicinares; 3, 4 y 5, vista de los mismos en campo ampliado; 6, enfoque supradóptico que muestra los granos. 3, 4 y 5, el mismo grano mostrando dos colpos en distintas posiciones con diferente nivel de enfoque supradóptico. 6, enfoque en sección óptica, escaña y nesina.

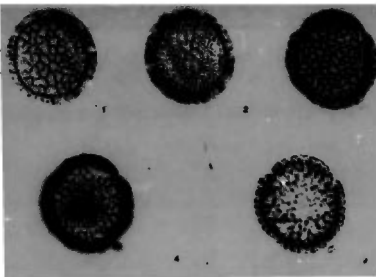


Lámina 11

Abromia bushinato. 1 a 5 Fotomicrografías con microscopio de luz (X 1000). 1 a 4 enfoque supraóptico. 1, dos colposomas laterales. 2, reticulado umbonulado. 3, reticulado en diferente enfoque. 4, bursules libres dentro de las láminas. 5, -- sección óptica, eosina y safran.

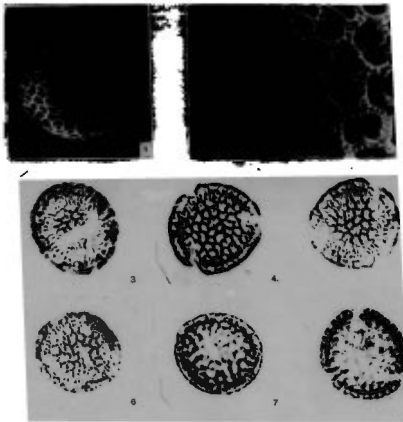


Lámina 11

Abies annua var. *amrita*. 1 y 2 fotomicrografías con MEB (1: 1000; 2: X 7900). 3 a 8, fotomicrografías con microscopio de la 3 a 8: 21000). 1, vista total del grano. 2, muestra el retículo microspinado y los ócules libres en las lúminas. 3, enfoque i fradiptico, se observa un colpo. 4 a 6, diferentes niveles de enfoque supradipticos. 4, se observan tres colpos y el retículo. 5, se observan ócules libres dentro de las lúminas. 6, se observa un colpo. 7 y 8 enfoque en sección óptica. 8, muestra claramente la sexina y la nexina.



Lámina - 13

Actinia equina. Longitluna. 1 y 2, lobulos coralinos con MIP 11 (X 500), 2 (X 3.500). 3 y 4, lobulos coralinos con microscopio de luz (3 y 4; X1.000). 1, vista total del gorgo. 2, muestra los poros con membrana, el tectum perforado, las perforaciones con borde afilador y los microespinos. 3, enfoque supraóptico mostrando poros, anulus interno y los diámetros de las columelas. 4, enfoque en sección óptica, sexina y noxina.

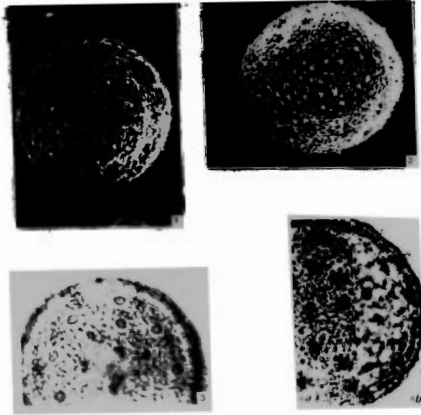
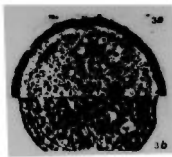


Lámina V

Allium sativum 1 y 2 fotomicrografías con H.E. (1,2: X 1500) 3,4a,4b: X 1000). 1 y 2 muestran los poros, las supraspinas, las perforaciones con borde y las verrugas. 3 y 4a, enfoque supraóptico en diferentes niveles, muestran el diámetro de las columelas, los anulus internos y los poros. 4b, sección óptica, seno y nesina.



Figuras VI

Enephayia sp. probado. 1 y 2. Fotomicrografías con M.R. (1). X 1000, 2: X 5000. 2a, 3b, 4. Fotomicrografías con microscopio de luz (3a, 3b, 4: X 1000). 1, vista total del grano. 2, muestra los poros, espinas y perforaciones con bordes poco definidos. 3a, enfoque supraóptico que muestra los poros y los anillos interno. 3b y 4, diferentes niveles de enfoque en sección óptica, safrina y nixina.

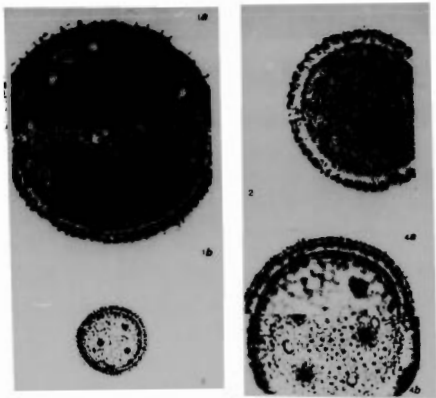


Lámina VII

Boenhatia coccinea 1a, 1b y 2. Fotomicrografías con microscopio de luz (1a, 1b: X 1000; 2: X 400)ba, enfoque en sección óptica, -- sección y maxima. 1b, enfoque superóptico, muestra poros y anulus 2, enfoque superóptico, muestra las capinas.

Baorangia diffusa 3, 4a, 4b. Fotomicrografías con microscopio de luz (3: X 400, 4a y 4b: X 1000). 3, vista total del grano. 4a sección óptica, sección y maxima. 4b, enfoque superóptico que muestra poros, anulus y diámetro de las columnas.

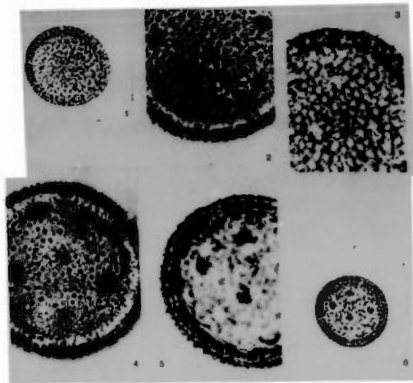


Lámina VIII

Banahavia erecta 1, 2, 3. Fotomicrografías con microscopio de luz (1: X 400, 2, 3: X 1000). 1, vista total del grano. 2, enfoque supradíptico, muestra poros, anulus y diámetro de las columnelas. 3, sección óptica, sexina y nexina.

Banahavia sunzalilloides 4, 5, 6. Fotomicrografías con microscopio de luz (4, 5: X 1000, 6: X 500). 4, enfoque supradíptico mostrando poros, anulus y diámetro de las columnelas. 5, corte óptico, sexina y nexina. 6, vista total del grano.

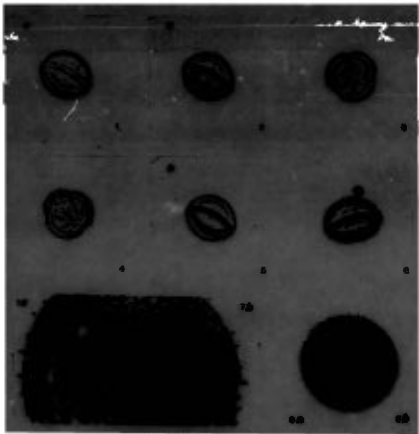


Lámina 10

Sphaeridia spinosa. 1 a 6. Fotomicrografías con microscopio de lupa (200: X 1000). 1, 2, 5, 6, vista equatorial. 3, 4, vista polar. 1, se observa la ornamentación infratubular formada por los colosomas. 2, muestra el círculo transversal. 3, muestra dos colosas y la ornamentación. 4, infratubular. 5, sección óptica; microespinas. 5 y 6, sección óptica en diferentes niveles, sección y sección, abertura ensanchada.

Sphaeridia smalli. 7a, 7b, 8a, 8b. Fotomicrografías con microscopio de lupa (7a, 7b: X 1000, 8a, 8b: X 400). 7a, sección, sección, parox, osulín y diámetro de los volumenes. 7b, se observan las espinas claramente. 8a, sección óptica, sección y sección. 8b, sección supraóptica, muestra los parox.

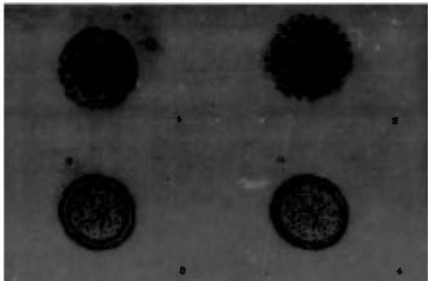


Lámina 3

Baccharinvillea off. luteolum 1,2 fotomicrografías con microscopio de luz (1,2; X 1000) 1, enfriador supradíptico, muestra los muros estriados, las lóminas con báculos libres. 2, enfríe en acción óptica, axina y nucina, se observan báculos de diversos tamaño y forma.

Collomia galpinii 3,4 fotomicrografías con microscopio de luz (3,4; X 1000), enfríe en acción óptica, se observan los plasmodesmáticos actinio, axina y nucina.

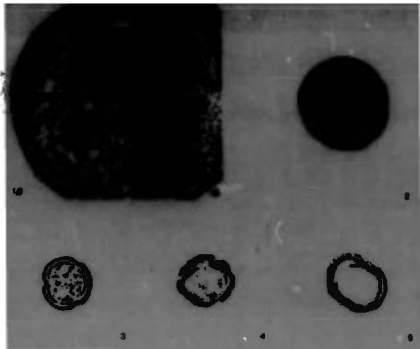


Lámina XI

Cryptocarynea brasiliensis. 1a, 1b, 2. Fotomicrografías con microscopio de luz (1a,1b,2: $\times 1000$). 1a, sección óptica, eosina y anilina. 1b, enfóque supradéntico mostrando pupas, dípteros y diámetros de las columnas. 2, vista total del grano.

Cryptocarynea uniformis. 3,4,5. Fotomicrografías con microscopio de luz (3,4,5: $\times 1000$). 3, vista polar, anilina y eosina. 4, vista polar, enfóque supradéntico, muestra denominación infractectal formada por las columnas. 5, vista ecuatorial -- sección óptica, eosina y anilina.

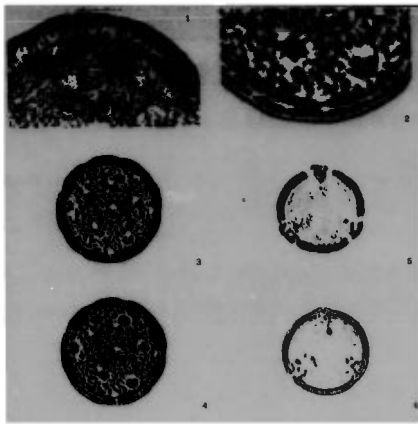


Lámina XI

Cepheneia geographilordes. 1, 2, 3, 4: fotomicrografías con microscopio de luz (1, 2: X 1000; 3, 4: X 400). 1, enfoque supradéptico mostrando poros, anulus y diámetro de las columelas. 2, sección óptica en nervia y nervina. 3, enfoque supradéptico, poro y anulus.

Grailechia ferruginea. 5 y 6 fotomicrografías con microscopio de luz (5, 6: X 1000). 5, vista polar, enfoque supradéptico ornamentación infrabóctal formada por las columelas. 6, vista polar, sección óptica, nervia y nervina, colpos con marge.

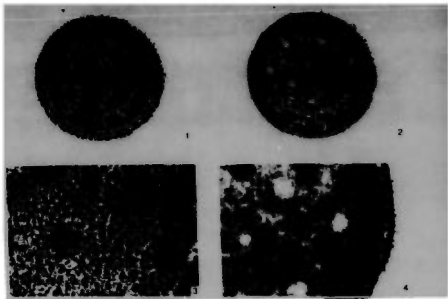


Lámina III.

Mirabilis aggregata. 1 a 4 fotomicrografías con microscopio de los (1,2 : X 400, 3,4 : X1000). 1,2,vista total del grano. 1, enfoque supradóptico, muestra poros con anulus. 2, sección óptica, sphaerulita y nectina. 3, enfoque supradóptico, poros, sphaerulitas y diámetro de las columnas. 4, sección óptica, nectina, nectina, espinas .

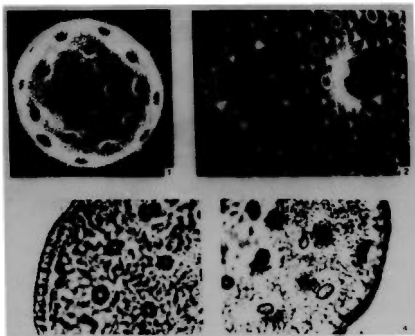


Lámina XIV

Minobilia bigelovii var. sapporo. 1 y 2 Fotomicrografía con SEM (1: X 750, 2: X 3500). 3, 4 Fotomicrografías con microscopio de luz -- (3,4: X 1000). 5, vista total del gálio. 2, pôres, espinas y perforaciones con bordo. 3, sección óptica, serina y canina. 4, enfoque supradepótico, poros, lámmelas y diámetro de los volumellos.

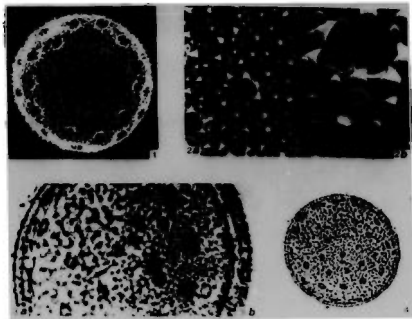


Lámina XV.

Mirabilis corymbosa. 1, 2a, 2b fotomicrografías con MEB (1:2750, 2a: X2000, 2b: X5000). 3a, 3b, 4 fotomicrografías con microscopio de luz (3a, 3b: X1000, 4: X4000). 1, vista total del grano. 2a, 2b, muestran poros, capillas y perforaciones con borde. 3a, enfoque en sección óptica, naxina y nemina. 3b, enfoque supradéptico mostrando poros, emulsión y diámetros de las columnas. 4, vista total del grano.

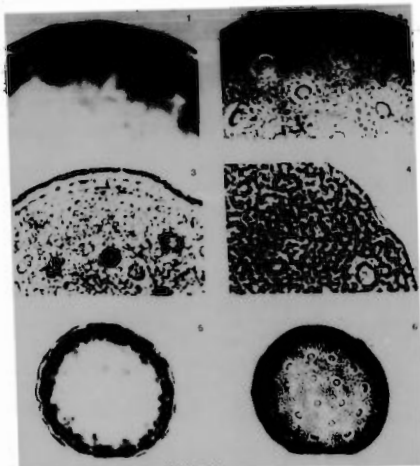


Lámina XVI.

Mirabilis gallica. 1, 2, 5, 6, fotomicrografías con microscopio de luz. (1, 2, 181000, 5, 6:3400). 1, sección óptica, resina y metacrilato. 2, enfoque - superadóptico, poros con anulus. 3, 6, secciones totales del grano. 5, sección óptica, enfoque superadóptico.

Mirabilis laevis. 3, 4, fotomicrografías con microscopio de luz. -- (3, 4:34000). 1, enfoque superadóptico, poros con anulus. 4, sección óptica, resina y metacrilato.

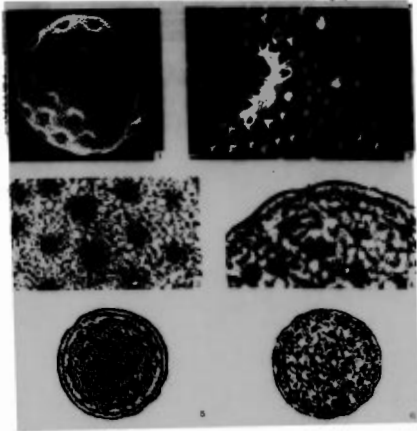


Lámina VIII

Marañón. Lámina VIII. 1, 2 Fotomicrografías con M.R. (1:1000, 2:17500). 3, 4 Fotomicrografías con microscopio de luces (3,4:1000, 5,6:2400). 1, - vista total del grano. 2, poros, espinas y perforaciones con bordes. 3, - enfoque superóptico ,poros, anulus y diámetro de las columnelas. 4, - enfoque óptica sexta y novena. 5,6,vista total del grano. 5, enfoque superóptico, poros y diámetro de las columnelas. 6, sexta óptica, sexta y - novena.

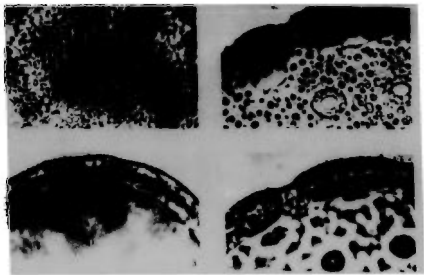


Lámina XVIII

Minobilia leuciloma. 1, 2, 3, 4. Fotomicrografías con microscopio de luz (1: X 400, 2, 3, 4: X 1000). 1, enfoque supradóptico, diámetro de las columelas, poros y ámulus. 2, enfoque supradóptico que muestra poros con ámulus. 3, - sección óptica, axina y nectina. 4, sección óptica, poro en vista lateral.

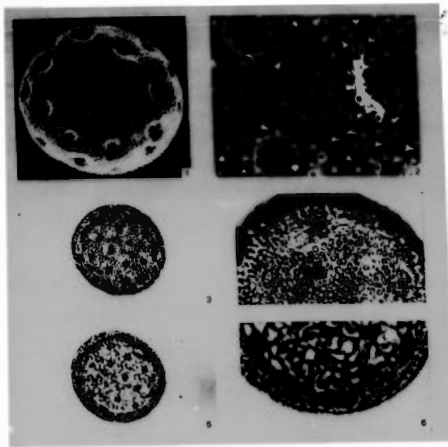


Lámina VIII.

Monachilia elisabethae. 1, 2 Fotomicrografías con NEG (1:31000, 2:33500). 3 a 6 fotomicrografías color. (3, 5:3400, 4, 6:31000). 1, vista total del grano. 2, pocos, espines y perforaciones con bordes. 3, 4, enfoque superadóptico. 3, vista total del grano. 4, poros, anulus y diámetros de los columelos. 5, 6, sección óptica. 5, vista total del grano. 6, nuxina y nuxina.

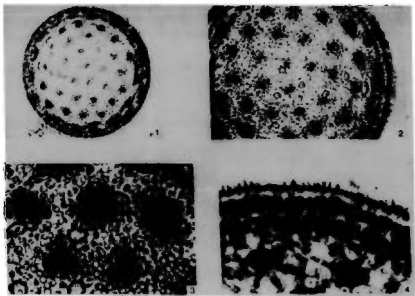


Lámina XX.

Mesobacter Wrighti. 1 a 4. Fotomicrografías con microscopio de las (1:X 250, 2:X400, 3,4:X1000). 1, vista total del grano. 2, pores, annules y diaphragmas de los columnas. 3, corteque supradóptico, pores columnas, diaphragmas de los columnas. 4, sección óptica, sexina, maza y espinas.

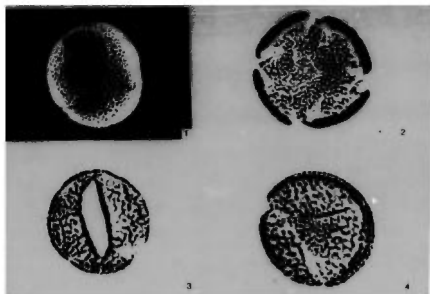


Lámina XXI .

Acanthocystis turfacea. 1, histomicrografía con M.R. (1:52000). 2 al 4, histomicrografías con microscopio de luz, 1 o 4:310000. 1, vista polar, muestra el retículo muy grueso con microvesículas supraductales, colpos con membrana, sobre estos, baculas libres. 2, vista polar, se observan 4 colpos, retiletos, infracornamentación que nace en un falso infracorneo. 3, vista equatorial, se observa un colpo d, vista polar inclinada, enfoque en sección óptica, axón y nervia.

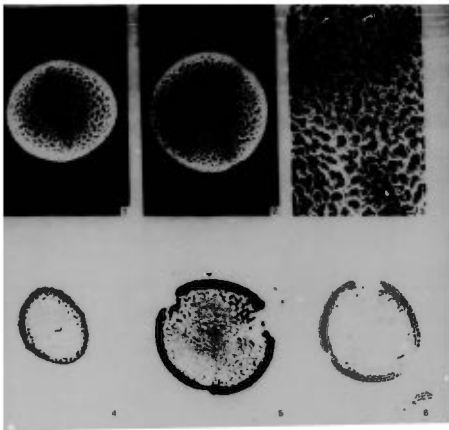


Lámina XXXI.

Huaqu Fennin. 1 a 3 Fotomicrografías con M.B (1,2:X2000, 3:X7500). 4 a 6 Fotomicrografías con microscopio de luc (4 a 6:X1000). 1, vista ecuatorial total del grano, colpo con membrana. 2, vista polar igual del grano, tres colpos. 3, retículo con microespinas supraexternas, lúminas de diferentes tamaños con bacules libres, colpos con membranas y baculos libres. 4, vista ecuatorial, se observa un colpo. 5, enfoque infradaptoico y falso infrareticulado formado con bacules libres en las lúminas.

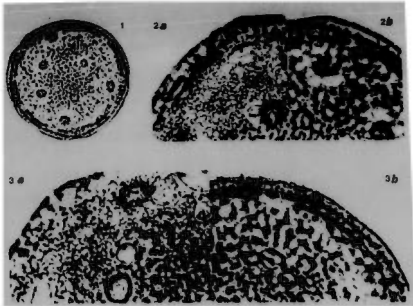


Lámina III.

Nectamia capitata. 1, 2a, 2b, 3a, 3b. Fotomicrografías con microscopio de luz (1: X400, 2a, 2b, 3a, 3b : X1000). 1, vista total del grano. 2a, enfoque supradóptico, poros, diámetro de los columnas. 2b, sección óptica, sexina y nexina. 3a, 3b, grano de mayor tamaño. 3a, enfoque supradóptico, poros, anulus, y diámetro de las columnas. 3b, sección óptica, sexina y nexina, espinas supratectales.

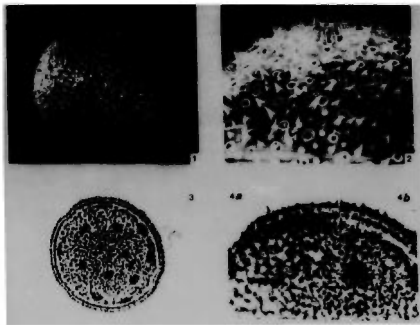


Lámina XXIV.

Okonia hippocrea. 1, 2, Fotomicrografías con MEB (1-X750, 2:X2000). 3, 4a, 4b Fotomicrografías con microscopio de luz (3:X400, 4a, 4b, :X1000). 1, vista total del grano. 2, perforaciones con bordes, espina, con estrechas, espinas bifidas, paros. 3, vista total del grano. 4a, --sección óptica, carina y nacina. 4b, enfoque supralíptico, base de las columnelas, paro.

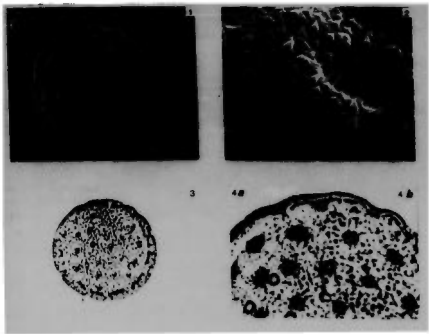


Lámina XIV.

Gayophthus cornutus. 1,2 Fotomicrografías con MEB(1:
X750, 2:X5000). 3,4a,4b Fotomicrografías con microscopio
de luz (3: X400, 4a,4b: X1000). 1, vista total del
grano. 2, se observan los poros, las perforaciones con
bordes y las espinas de diferentes tamaños. 3, vista
total del grano. 4a, enfoque superciliado del muestra-
los poros con esclerita interna, las diferencias de los ca-
lumetas. 4b, sección óptica, sexina y mesina.

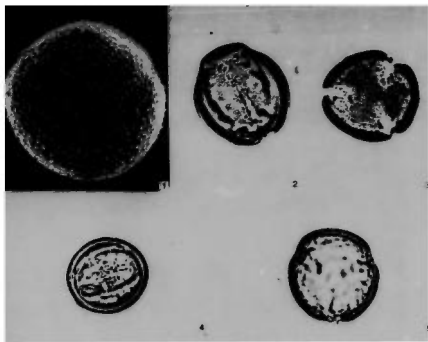


Lámina XXVI

Pisonia aculeata. 1, fotomicrografia con MLR (1: X 1500). 2 a 5, fotomicrografias con microscopio de luz. (2 a 5: X 1000). 1, vista polar inclinada colpos con membrana, espinas sobre la membrana, -bectum equinado, con perforaciones muy pequeñas. 2, vista ecuatorial, se observa un colpo y ornamentacion infractectal, enfoque supradepthico. 3, vista polar, muestra ornamentacion infractectal, enfoque supradepthico. 4, vista ecuatorial, enfoque en sección optica, se observa un colpo. 5, sección optica, sexina y nervina.

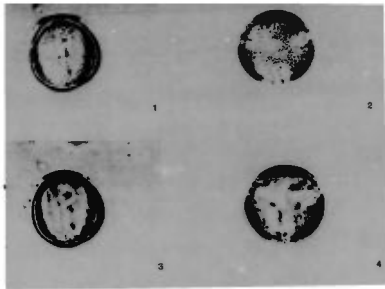


Lámina XXVII.

Pisonia capito. 1 a 4 fotomicrografías con microscopio de luz (1 a 4 :X1000) 1, vista equatorial, enfoque infradéptico, se observa el cel. po. 2, vista polar - enfoque superdéptico, muestra desnaturalización infrabacteriol. 3, vista obliqua lat., angulo óptico, eosina y nucina. 4, vista polar, gocciola fijación, eosina y nucina.



Lámina 229(L).

Pigmentaria subciliata. 1 a 3 Fotomicrografías con microscopio de lupa (1 a 3 x 1000). 1, enfoque superdejatado, se observa el diámetro de las columnas. 2, enfoque infradejatado, se observan los colpos y la apariencia de triradiadas formadas por las columnas. 3, enfoque en enfoque óptica, acetina y nesoxina.

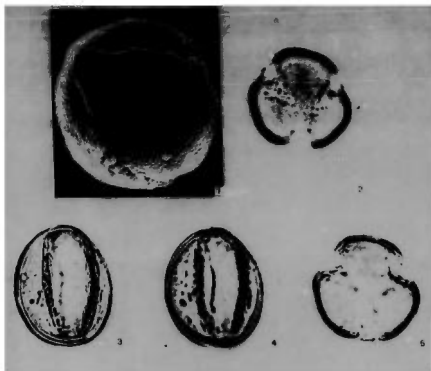


Lámina XXIX.

Salpinthia oronarium. 1, fotomicrografia con 468.
(11:X1500). 2 a 5 Fotomicrografias con microscopio-
de lujo(2 a 5 :X1000). 1, vista inclinada, se observan
los colpos con membrana, los microvilli supra-
ductales y perforaciones numerosas pequeñas. 2, vista
polar, enfoque supraductal que muestra la ornamenta-
cion infraductal. 3,4, vista estomotorial. 3, enfoque su-
praductico, con ornamentacion iufra ductal. 4, sección
óptica, oxina y neoxina. 5, vista polar, sección ópti-
ca, rex ina y neoxina.

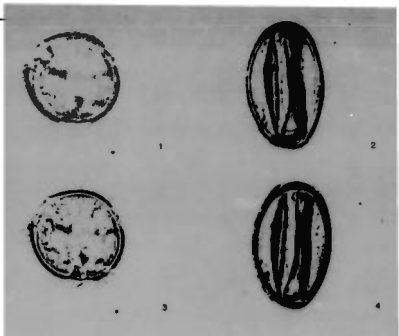


Lámina XXX.

Salpinthus sacredontus. 1 a 4. Fotomicrografías en microscopio de luz. (1 a 4: X1000). 1, 2, enfoque supradóptico. 1, vista polar, muestra la ornamentación infratectal. 2, vista ecuatorial, se observa un colpo. 3, 4, enfoque en sección óptica. 3, vista polar, sexina y nexina. 4, vista ecuatorial, se observa un colpo y el grueso de la exina, que no se ven ejetas polas que en el ecuador.

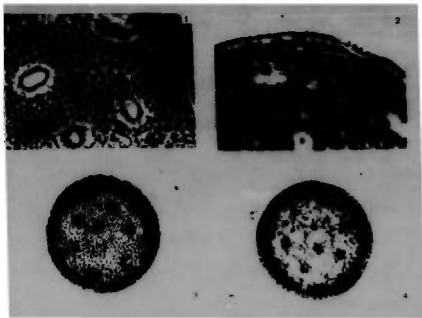


Lámina XXI.

Balanococcus papilliferus, 1 a 4 Fotomicrografías con microscopio de lúes. 1, 2: x1000) (3, 4: x500). 1, enfoque sustractivo que muestra protosa, nucleo y límite de las células basas. 2, enfoque sustractivo, apofisis y apicula. 3, vista total del organismo. 4, vista sustractiva, vista de total del organismo, mostrando células.

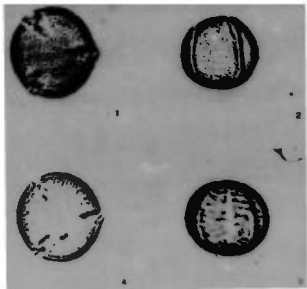


Lámina XXXII.

Leucaspis linsleyae. 1 a 4 fotomicrografías con microscopio de bin. (1 a 4:2000). 1, 2, enfoque - supradéptico, 1, vista polar que muestra la ornamentación infractorial. 2, vista ecuatorial, muestra dos óvulos y la ornamentación infractorial. 3, 4, enfoque - déptico; 3, vista polar, enfoque, vista ecuatorial, se observan tres óvulos, espuma y ovarios.